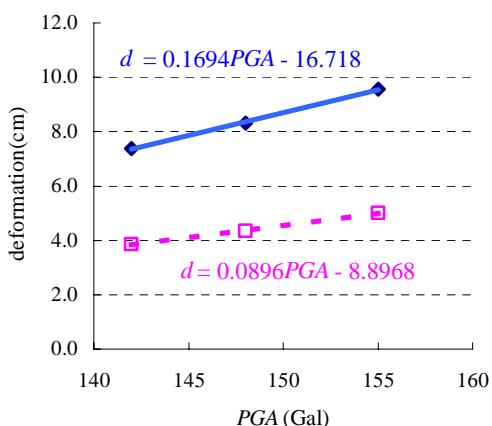


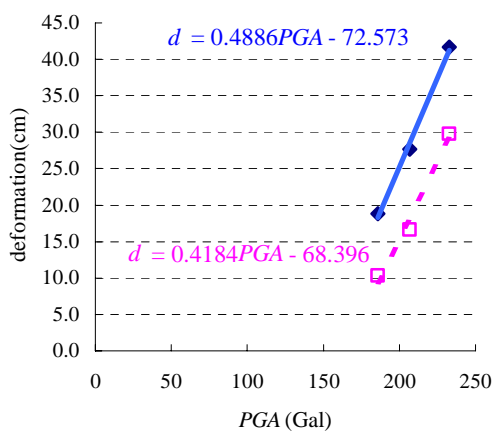
付録B 入力加速度最大値と残留変形量

表-B.1 入力加速度最大値と残留変形量（重力式：水深-7.5m,kh=0.10）

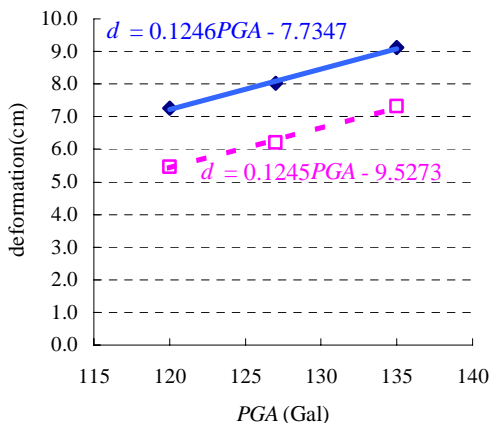
| 水深<br>・<br>震度    | 地盤ケース | 地震<br>信頼度 | 変形量(cm) |      |      |      |      |      |      |      |      |      | 入力加速度最大値(Gal) |      |      |      |      |      |      |      |      |      |
|------------------|-------|-----------|---------|------|------|------|------|------|------|------|------|------|---------------|------|------|------|------|------|------|------|------|------|
|                  |       |           | 苦小牧     | 八戸   | 東京   | 名古屋  | 岩国   | 広島   | 高松   | 高知   | 博多   | 鹿児島  | 苦小牧           | 八戸   | 東京   | 名古屋  | 岩国   | 広島   | 高松   | 高知   | 博多   | 鹿児島  |
|                  |       |           | 9013    | 9106 | 9207 | 9308 | 9516 | 9517 | 9603 | 9611 | 9701 | 9729 | 9013          | 9106 | 9207 | 9308 | 9516 | 9517 | 9603 | 9611 | 9701 | 9729 |
| -7.5m<br>kh=0.10 | 1     | L30       | 7.4     | 18.8 | 7.3  | 6.3  | 5.0  | 14.2 | 6.9  | 12.8 | 6.2  | 20.4 | 142           | 186  | 120  | 130  | 305  | 330  | 107  | 180  | 165  | 182  |
|                  |       | L50       | 8.3     | 27.7 | 8.0  | 6.8  | 5.3  | 15.8 | 7.4  | 15.1 | 6.3  | 23.5 | 148           | 207  | 127  | 134  | 312  | 336  | 109  | 192  | 166  | 187  |
|                  |       | L70       | 9.6     | 41.7 | 9.1  | 7.5  | 5.7  | 17.8 | 7.9  | 18.1 | 6.4  | 27.6 | 155           | 233  | 135  | 139  | 320  | 343  | 113  | 206  | 167  | 193  |
|                  | 2     | L30       | 3.8     | 10.3 | 5.5  | 3.1  | 5.1  | 8.5  | 4.8  | 14.0 | 6.0  | 21.4 | 142           | 186  | 120  | 130  | 305  | 330  | 107  | 180  | 165  | 182  |
|                  |       | L50       | 4.3     | 16.7 | 6.2  | 3.4  | 5.4  | 9.2  | 5.1  | 18.0 | 6.1  | 24.6 | 148           | 207  | 127  | 134  | 312  | 336  | 109  | 192  | 166  | 187  |
|                  |       | L70       | 5.0     | 29.8 | 7.3  | 3.7  | 5.8  | 10.1 | 5.5  | 22.7 | 6.1  | 28.2 | 155           | 233  | 135  | 139  | 320  | 343  | 113  | 206  | 167  | 193  |



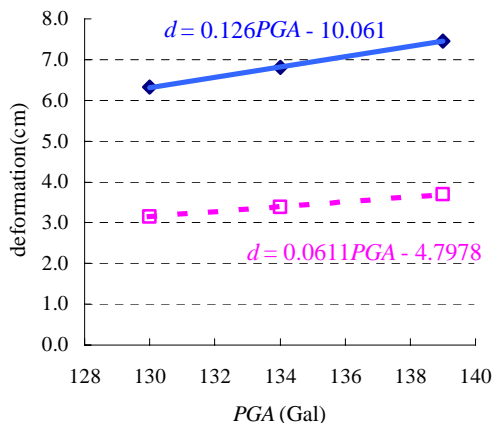
1) 苦小牧港波



2) 八戸港波



3) 東京港波



4) 名古屋港波

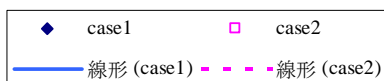
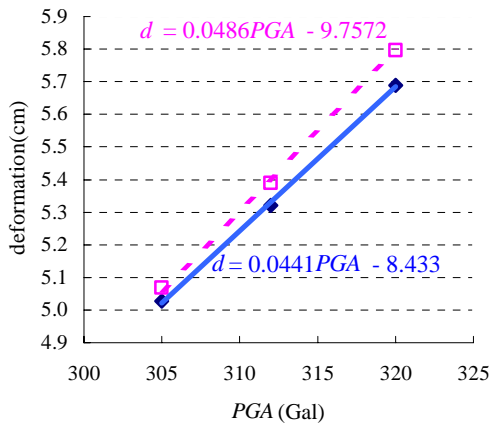
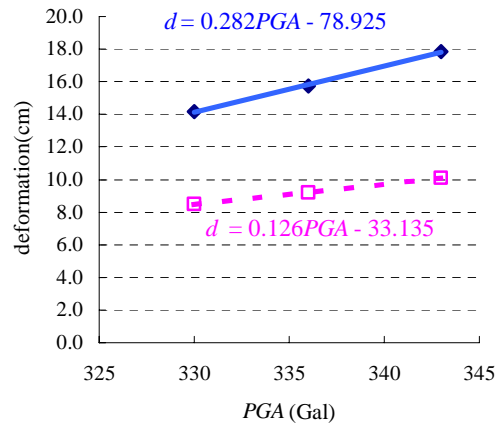


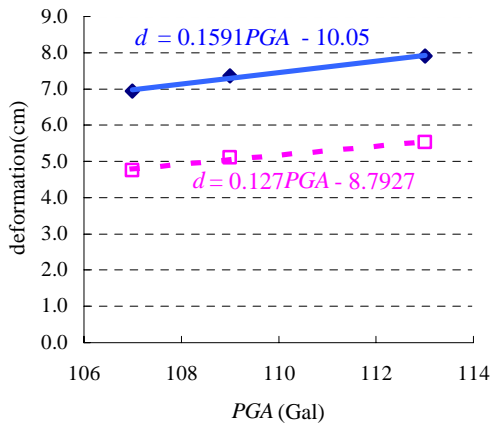
図-B.1.1 入力加速度最大値と残留変形量の関係（重力式：水深-7.5m,kh=0.10）



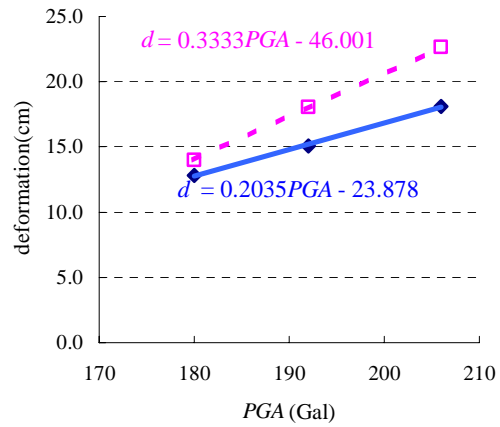
5) 岩国港波



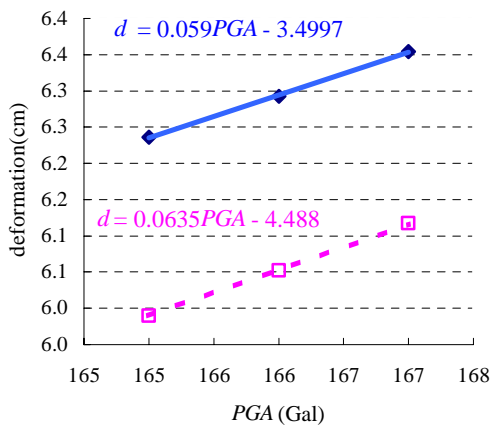
6) 広島港波



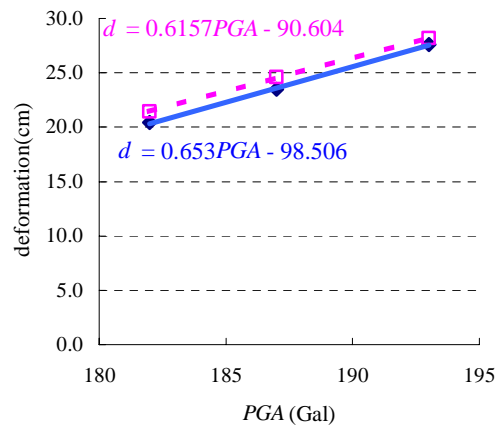
7) 高松港波



8) 高知港波



9) 博多港波



10) 鹿児島港波

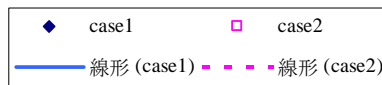
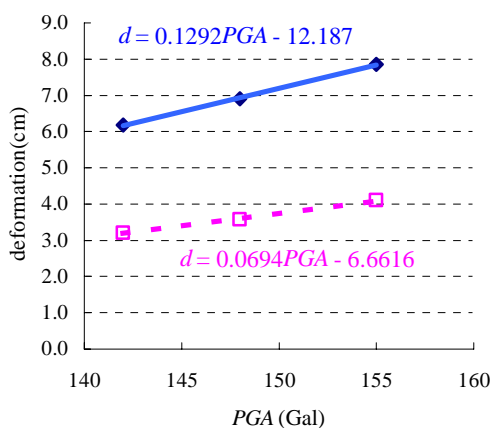


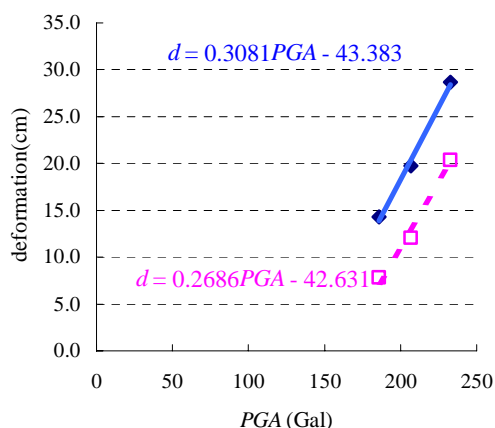
図-B.1.2 入力加速度最大値と残留変形量の関係 (重力式: 水深-7.5m, kh=0.10)

表-B.2 入力加速度最大値と残留変形量（重力式：水深-7.5m,kh=0.15）

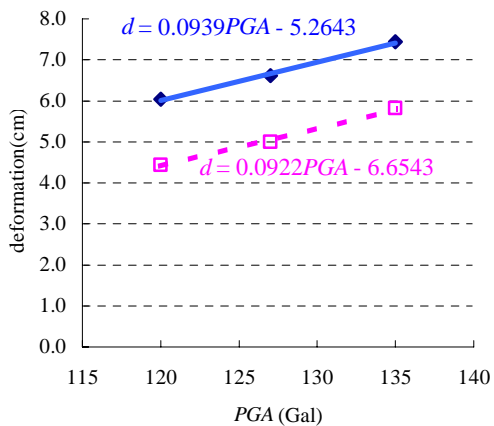
| 水深<br>・<br>震度    | 地盤ケース | 地震<br>信頼度 | 変形量(cm) |      |      |      |      |      |      |      |      |      | 入力加速度最大値(Gal) |      |      |      |      |      |      |      |      |      |
|------------------|-------|-----------|---------|------|------|------|------|------|------|------|------|------|---------------|------|------|------|------|------|------|------|------|------|
|                  |       |           | 苦小牧     | 八戸   | 東京   | 名古屋  | 岩国   | 広島   | 高松   | 高知   | 博多   | 鹿児島  | 苦小牧           | 八戸   | 東京   | 名古屋  | 岩国   | 広島   | 高松   | 高知   | 博多   | 鹿児島  |
|                  |       |           | 9013    | 9106 | 9207 | 9308 | 9516 | 9517 | 9603 | 9611 | 9701 | 9729 | 9013          | 9106 | 9207 | 9308 | 9516 | 9517 | 9603 | 9611 | 9701 | 9729 |
| -7.5m<br>kh=0.15 | 1     | L30       | 6.2     | 14.3 | 6.0  | 5.5  | 4.3  | 11.3 | 5.8  | 10.1 | 5.3  | 14.6 | 142           | 186  | 120  | 130  | 305  | 330  | 107  | 180  | 165  | 182  |
|                  |       | L50       | 6.9     | 19.7 | 6.6  | 5.8  | 4.5  | 12.5 | 6.1  | 11.7 | 5.4  | 16.5 | 148           | 207  | 127  | 134  | 312  | 336  | 109  | 192  | 166  | 187  |
|                  |       | L70       | 7.9     | 28.7 | 7.4  | 6.4  | 4.8  | 13.9 | 6.5  | 13.8 | 5.4  | 18.9 | 155           | 233  | 135  | 139  | 320  | 343  | 113  | 206  | 167  | 193  |
|                  | 2     | L30       | 3.2     | 7.8  | 4.4  | 2.7  | 4.1  | 6.7  | 3.9  | 9.3  | 4.9  | 13.8 | 142           | 186  | 120  | 130  | 305  | 330  | 107  | 180  | 165  | 182  |
|                  |       | L50       | 3.6     | 12.0 | 5.0  | 2.9  | 4.3  | 7.3  | 4.1  | 11.6 | 4.9  | 15.9 | 148           | 207  | 127  | 134  | 312  | 336  | 109  | 192  | 166  | 187  |
|                  |       | L70       | 4.1     | 20.4 | 5.8  | 3.1  | 4.7  | 8.0  | 4.5  | 14.9 | 5.0  | 18.5 | 155           | 233  | 135  | 139  | 320  | 343  | 113  | 206  | 167  | 193  |



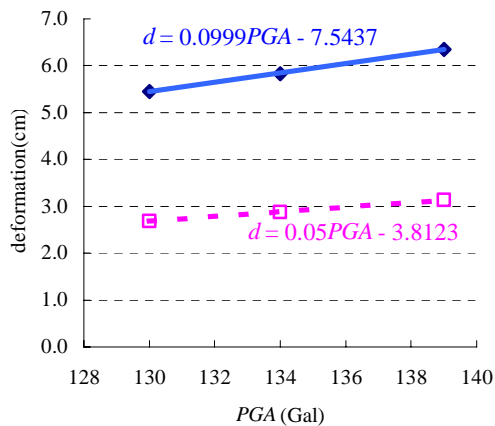
1) 苦小牧港波



2) 八戸港波



3) 東京港波



4) 名古屋港波

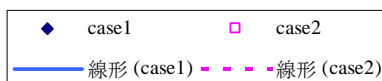
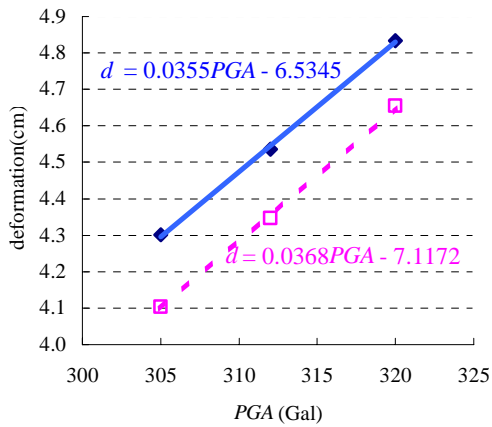
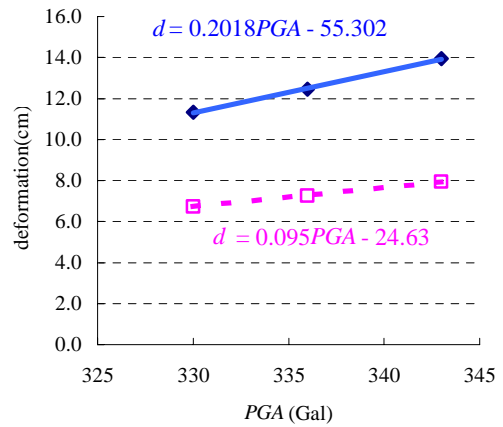


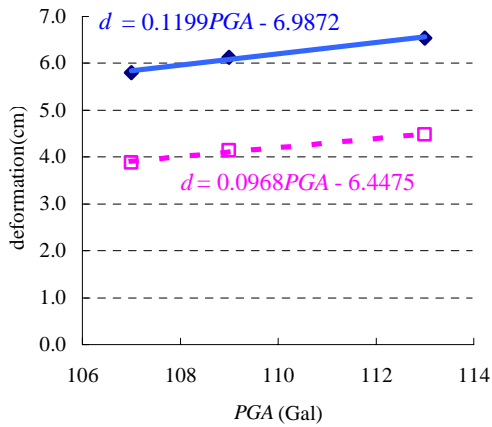
図-B.2.1 入力加速度最大値と残留変形量の関係（重力式：水深-7.5m,kh=0.15）



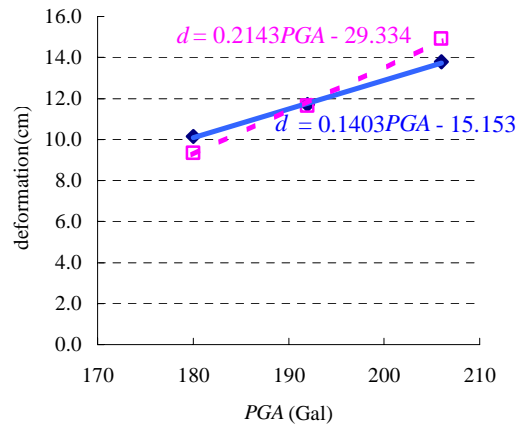
5) 岩国港波



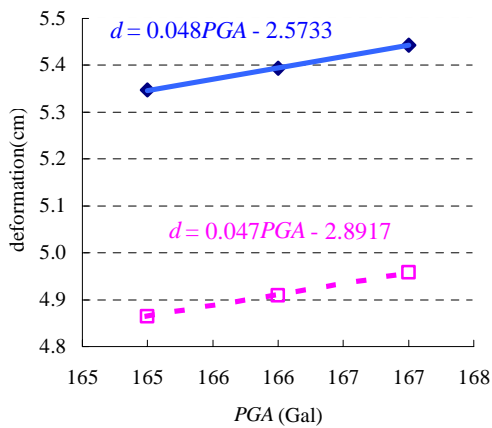
6) 広島港波



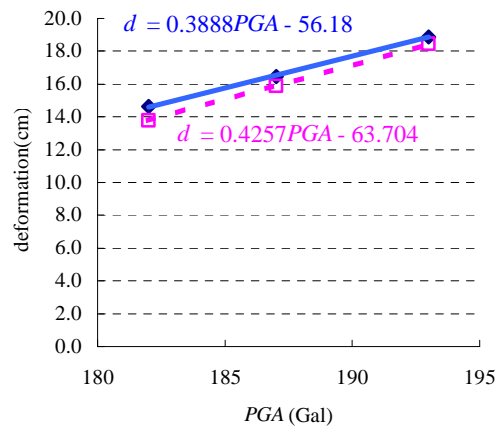
7) 高松港波



8) 高知港波



9) 博多港波



10) 鹿児島港波

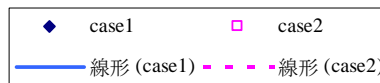
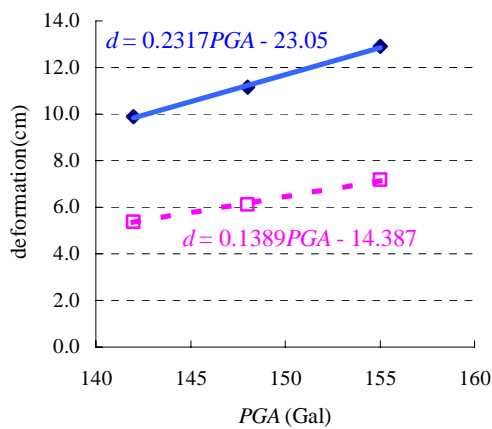


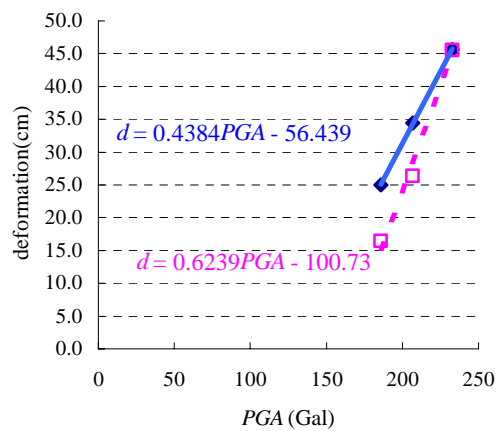
図-B.2.2 入力加速度最大値と残留変形量の関係 (重力式:水深-7.5m,kh=0.15)

表-B.3 入力加速度最大値と残留変形量（重力式：水深-11.0m,kh=0.10）

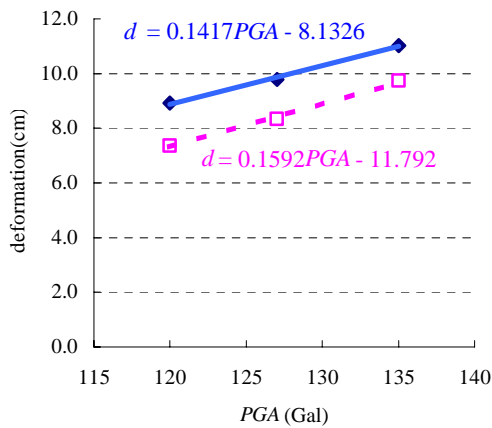
| 水深<br>・<br>震度     | 地盤ケース | 地震<br>信頼度 | 変形量(cm) |      |      |      |      |      |      |      |      |      | 入力加速度最大値(Gal) |      |      |      |      |      |      |      |      |      |
|-------------------|-------|-----------|---------|------|------|------|------|------|------|------|------|------|---------------|------|------|------|------|------|------|------|------|------|
|                   |       |           | 苦小牧     | 八戸   | 東京   | 名古屋  | 岩国   | 広島   | 高松   | 高知   | 博多   | 鹿児島  | 苦小牧           | 八戸   | 東京   | 名古屋  | 岩国   | 広島   | 高松   | 高知   | 博多   | 鹿児島  |
|                   |       |           | 9013    | 9106 | 9207 | 9308 | 9516 | 9517 | 9603 | 9611 | 9701 | 9729 | 9013          | 9106 | 9207 | 9308 | 9516 | 9517 | 9603 | 9611 | 9701 | 9729 |
| -11.0m<br>kh=0.10 | 1     | L30       | 9.9     | 25.0 | 8.9  | 9.1  | 5.7  | 18.8 | 8.5  | 15.1 | 6.8  | 25.7 | 142           | 186  | 120  | 130  | 305  | 330  | 107  | 180  | 165  | 182  |
|                   |       | L50       | 11.2    | 34.5 | 9.8  | 9.8  | 6.0  | 20.8 | 9.0  | 17.2 | 6.8  | 28.9 | 148           | 207  | 127  | 134  | 312  | 336  | 109  | 192  | 166  | 187  |
|                   |       | L70       | 12.9    | 45.7 | 11.0 | 10.7 | 6.4  | 23.4 | 9.7  | 20.1 | 6.9  | 33.1 | 155           | 233  | 135  | 139  | 320  | 343  | 113  | 206  | 167  | 193  |
|                   | 2     | L30       | 5.4     | 16.4 | 7.4  | 4.5  | 5.5  | 9.8  | 6.4  | 17.0 | 6.3  | 24.6 | 142           | 186  | 120  | 130  | 305  | 330  | 107  | 180  | 165  | 182  |
|                   |       | L50       | 6.1     | 26.4 | 8.3  | 4.8  | 5.8  | 10.9 | 6.9  | 19.7 | 6.4  | 27.4 | 148           | 207  | 127  | 134  | 312  | 336  | 109  | 192  | 166  | 187  |
|                   |       | L70       | 7.2     | 45.5 | 9.7  | 5.3  | 6.2  | 12.6 | 7.4  | 23.0 | 6.4  | 30.7 | 155           | 233  | 135  | 139  | 320  | 343  | 113  | 206  | 167  | 193  |



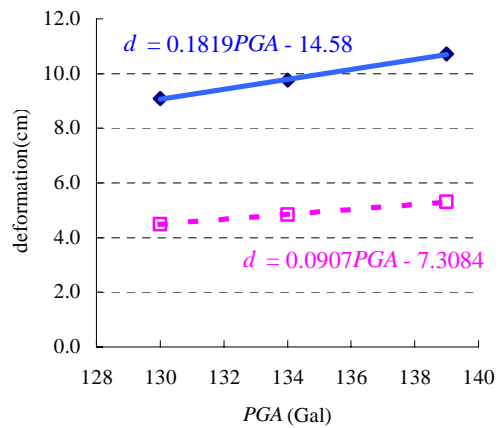
1) 苦小牧港波



2) 八戸港波



3) 東京港波



4) 名古屋港波

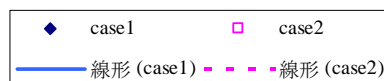
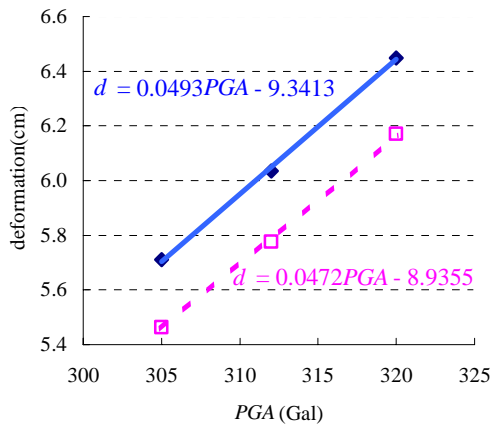
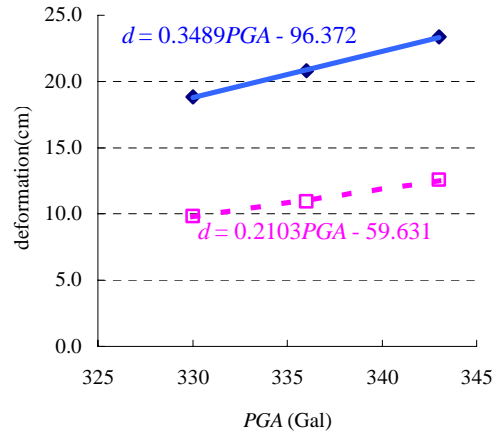


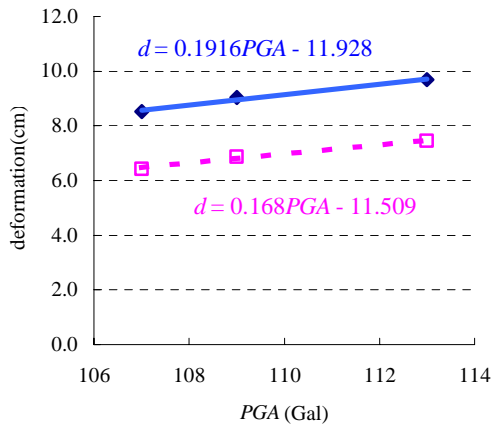
図-B.3.1 入力加速度最大値と残留変形量の関係（重力式：水深-11.0m,kh=0.10）



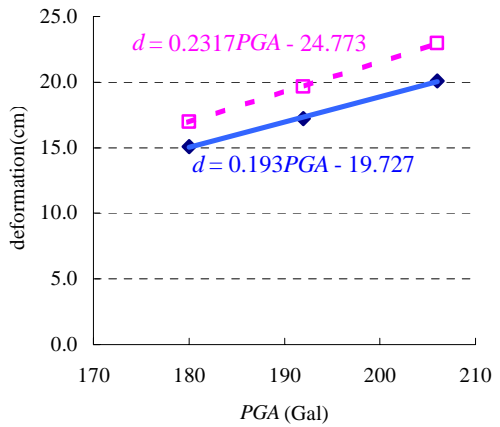
5) 岩国港波



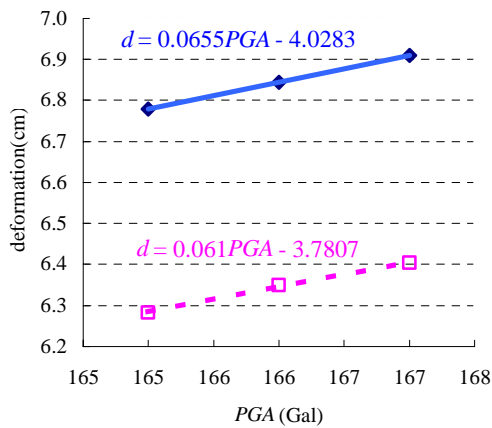
6) 広島港波



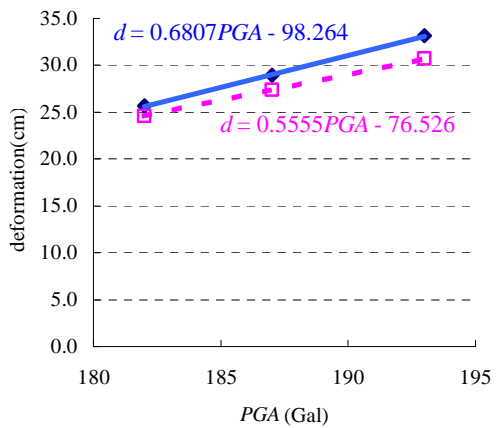
7) 高松港波



8) 高知港波



9) 博多港波



10) 鹿児島港波

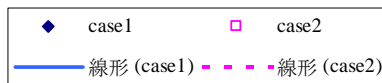
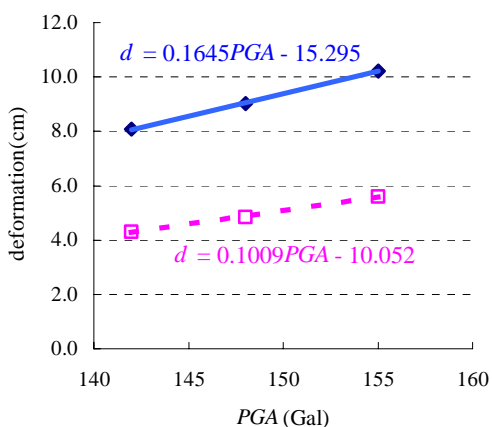


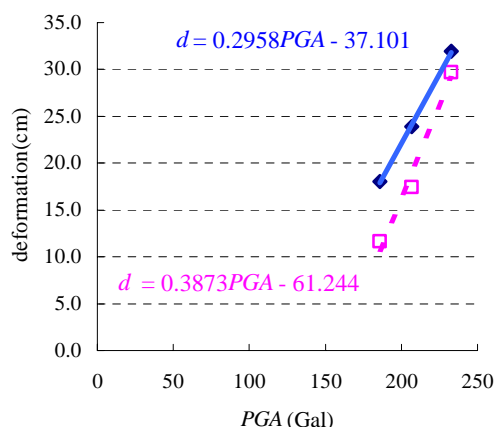
図-B. 3. 2 入力加速度最大値と残留変形量の関係 (重力式: 水深--11.0m,kh=0.10)

表-B.4 入力加速度最大値と残留変形量（重力式：水深-11.0m,kh=0.15）

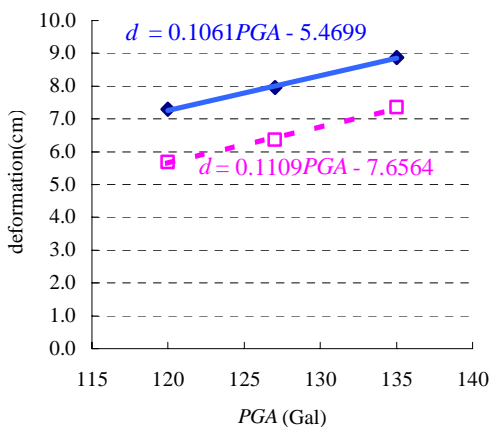
| 水深<br>・<br>震度     | 地盤ケース | 地震<br>信頼度 | 変形量(cm) |      |      |      |      |      |      |      |      |      | 入力加速度最大値(Gal) |      |      |      |      |      |      |      |      |      |
|-------------------|-------|-----------|---------|------|------|------|------|------|------|------|------|------|---------------|------|------|------|------|------|------|------|------|------|
|                   |       |           | 苦小牧     | 八戸   | 東京   | 名古屋  | 岩国   | 広島   | 高松   | 高知   | 博多   | 鹿児島  | 苦小牧           | 八戸   | 東京   | 名古屋  | 岩国   | 広島   | 高松   | 高知   | 博多   | 鹿児島  |
|                   |       |           | 9013    | 9106 | 9207 | 9308 | 9516 | 9517 | 9603 | 9611 | 9701 | 9729 | 9013          | 9106 | 9207 | 9308 | 9516 | 9517 | 9603 | 9611 | 9701 | 9729 |
| -11.0m<br>kh=0.15 | 1     | L30       | 8.1     | 18.0 | 7.3  | 7.5  | 4.9  | 14.7 | 6.9  | 11.9 | 5.8  | 18.1 | 142           | 186  | 120  | 130  | 305  | 330  | 107  | 180  | 165  | 182  |
|                   |       | L50       | 9.0     | 23.9 | 8.0  | 8.0  | 5.1  | 16.0 | 7.3  | 13.5 | 5.9  | 20.3 | 148           | 207  | 127  | 134  | 312  | 336  | 109  | 192  | 166  | 187  |
|                   |       | L70       | 10.2    | 31.9 | 8.9  | 8.7  | 5.5  | 17.8 | 7.8  | 15.6 | 5.9  | 22.8 | 155           | 233  | 135  | 139  | 320  | 343  | 113  | 206  | 167  | 193  |
|                   | 2     | L30       | 4.3     | 11.6 | 5.7  | 3.7  | 4.4  | 7.7  | 5.0  | 11.3 | 5.1  | 15.8 | 142           | 186  | 120  | 130  | 305  | 330  | 107  | 180  | 165  | 182  |
|                   |       | L50       | 4.8     | 17.4 | 6.4  | 3.9  | 4.7  | 8.4  | 5.4  | 13.3 | 5.1  | 17.7 | 148           | 207  | 127  | 134  | 312  | 336  | 109  | 192  | 166  | 187  |
|                   |       | L70       | 5.6     | 29.7 | 7.3  | 4.3  | 5.0  | 9.4  | 5.8  | 15.8 | 5.2  | 20.1 | 155           | 233  | 135  | 139  | 320  | 343  | 113  | 206  | 167  | 193  |



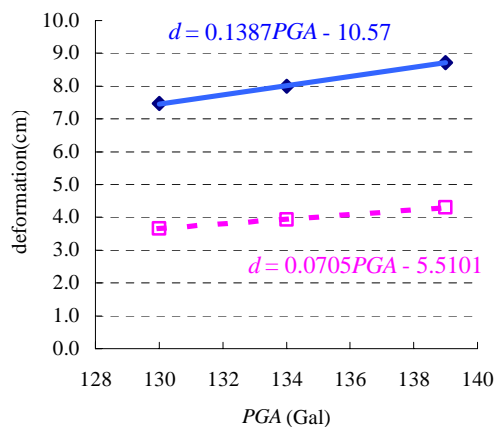
1) 苦小牧港波



2) 八戸港波



3) 東京港波



4) 名古屋港波

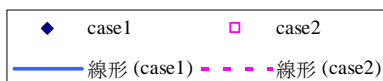
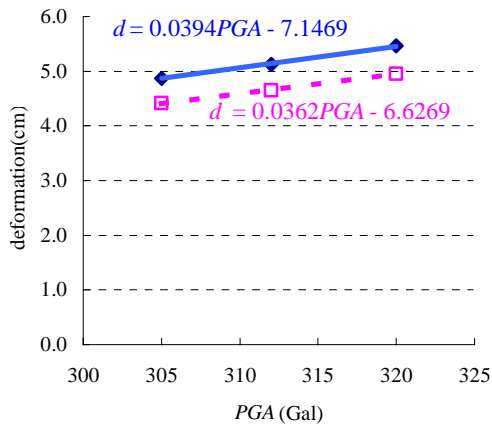
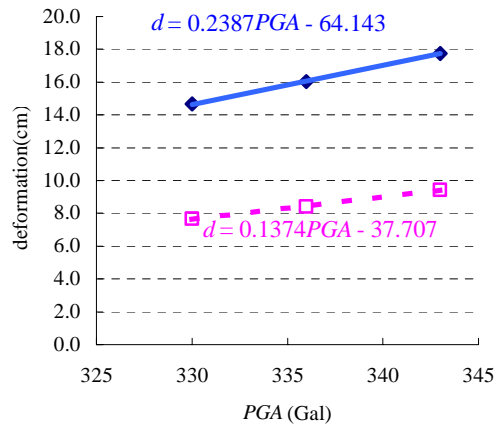


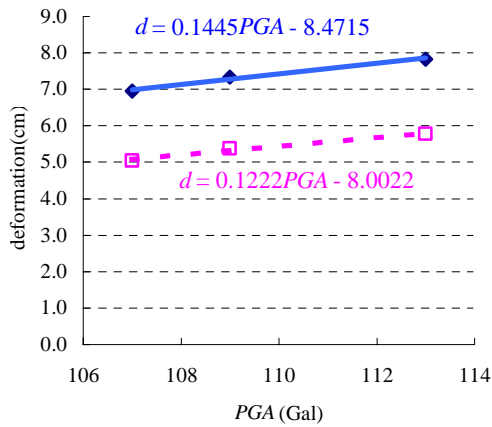
図-B.4.1 入力加速度最大値と残留変形量の関係（重力式：水深--11.0m,kh=0.15）



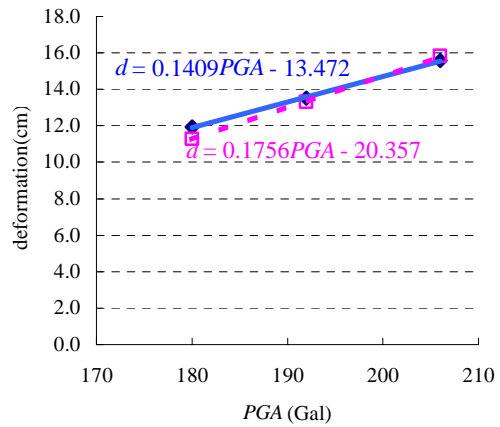
5) 岩国港波



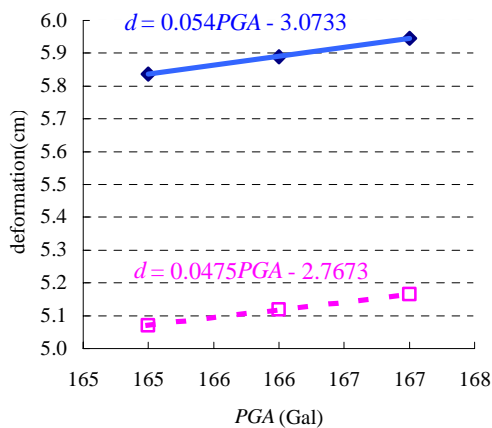
6) 広島港波



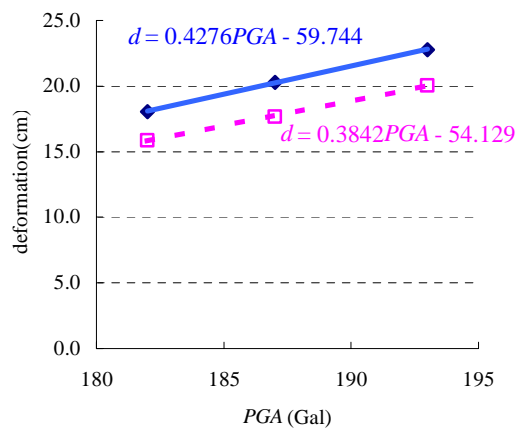
7) 高松港波



8) 高知港波



9) 博多港波



10) 鹿児島港波

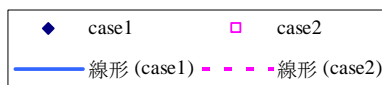


図-B. 4. 2 入力加速度最大値と残留変形量の関係 (重力式: 水深--11.0m,kh=0.15)



表-B.5 入力加速度最大値と残留変形量（重力式：水深-11.0m,kh=0.20）

| 水深<br>・<br>震度     | 地盤ケース | 地震<br>信頼度 | 変形量(cm) |      |      |      |      |      |      |      |      |      | 入力加速度最大値(Gal) |      |      |      |      |      |      |      |      |      |
|-------------------|-------|-----------|---------|------|------|------|------|------|------|------|------|------|---------------|------|------|------|------|------|------|------|------|------|
|                   |       |           | 苦小牧     | 八戸   | 東京   | 名古屋  | 岩国   | 広島   | 高松   | 高知   | 博多   | 鹿児島  | 苦小牧           | 八戸   | 東京   | 名古屋  | 岩国   | 広島   | 高松   | 高知   | 博多   | 鹿児島  |
|                   |       |           | 9013    | 9106 | 9207 | 9308 | 9516 | 9517 | 9603 | 9611 | 9701 | 9729 | 9013          | 9106 | 9207 | 9308 | 9516 | 9517 | 9603 | 9611 | 9701 | 9729 |
| -11.0m<br>kh=0.20 | 1     | L30       | 6.6     | 13.4 | 6.0  | 6.1  | 4.2  | 11.4 | 5.7  | 9.6  | 3.8  | 13.2 | 142           | 186  | 120  | 130  | 305  | 330  | 107  | 180  | 165  | 182  |
|                   |       | L50       | 7.3     | 17.0 | 6.5  | 6.5  | 4.4  | 12.3 | 6.0  | 10.8 | 4.0  | 14.4 | 148           | 207  | 127  | 134  | 312  | 336  | 109  | 192  | 166  | 187  |
|                   |       | L70       | 8.2     | 22.1 | 7.2  | 7.0  | 4.6  | 13.5 | 6.4  | 12.4 | 4.2  | 16.0 | 155           | 233  | 135  | 139  | 320  | 343  | 113  | 206  | 167  | 193  |
|                   | 2     | L30       | 3.4     | 7.9  | 4.3  | 2.9  | 3.5  | 5.9  | 3.8  | 7.6  | 2.9  | 9.9  | 142           | 186  | 120  | 130  | 305  | 330  | 107  | 180  | 165  | 182  |
|                   |       | L50       | 3.8     | 11.3 | 4.7  | 3.1  | 3.7  | 6.4  | 4.1  | 8.8  | 3.1  | 11.0 | 148           | 207  | 127  | 134  | 312  | 336  | 109  | 192  | 166  | 187  |
|                   |       | L70       | 4.3     | 17.5 | 5.4  | 3.4  | 3.9  | 7.0  | 4.4  | 10.4 | 3.2  | 12.3 | 155           | 233  | 135  | 139  | 320  | 343  | 113  | 206  | 167  | 193  |

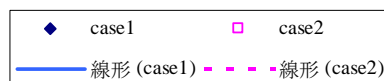
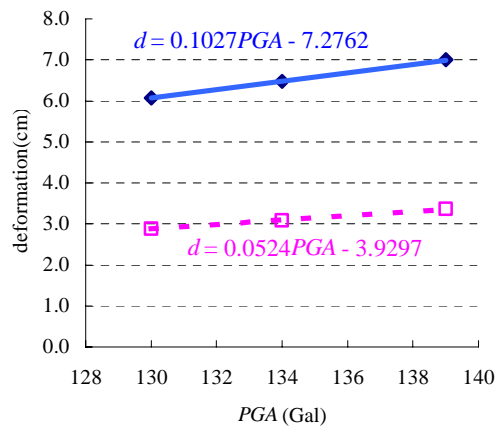
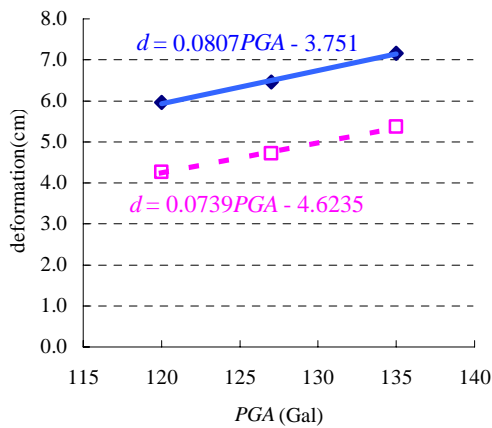
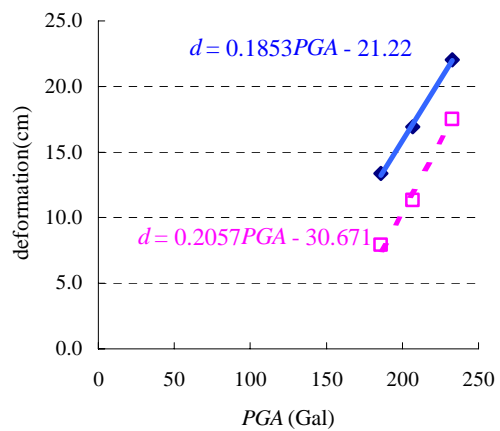
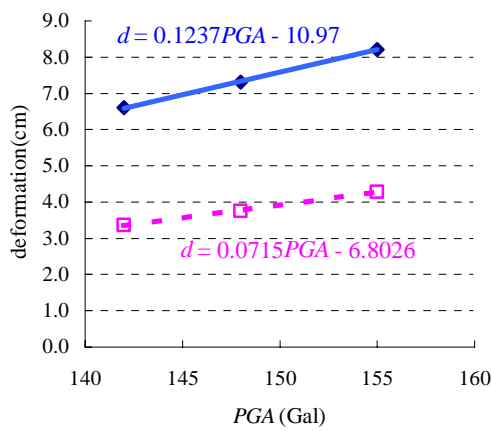
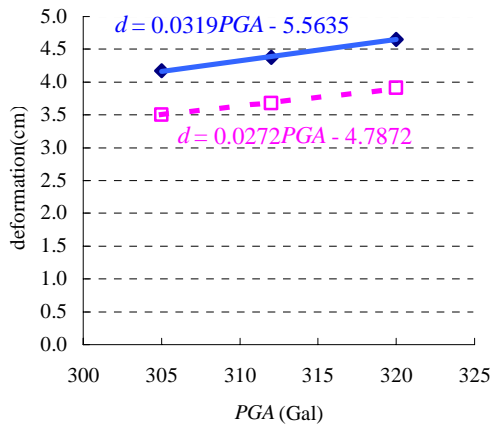
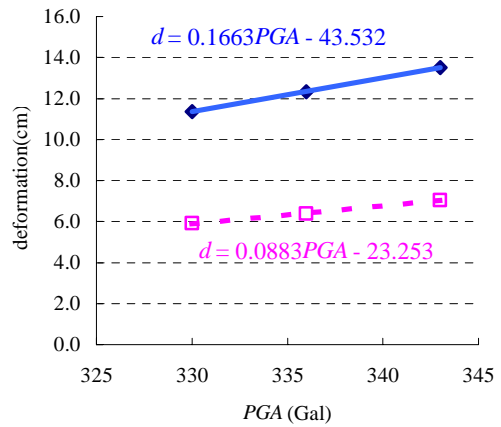


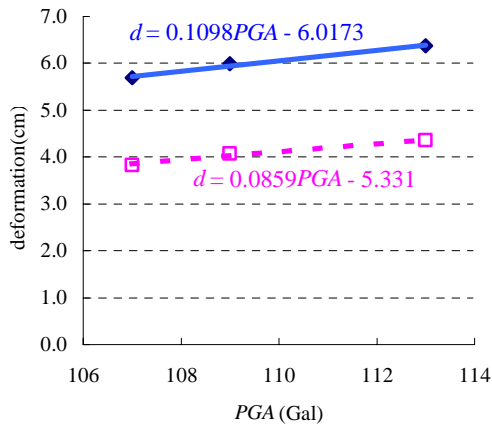
図-B.5.1 入力加速度最大値と残留変形量の関係（重力式：水深-11.0m,kh=0.20）



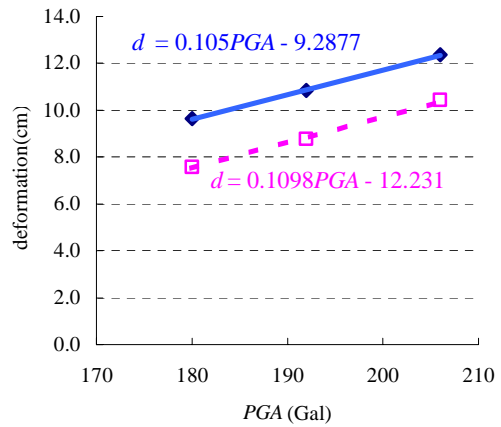
5) 岩国港波



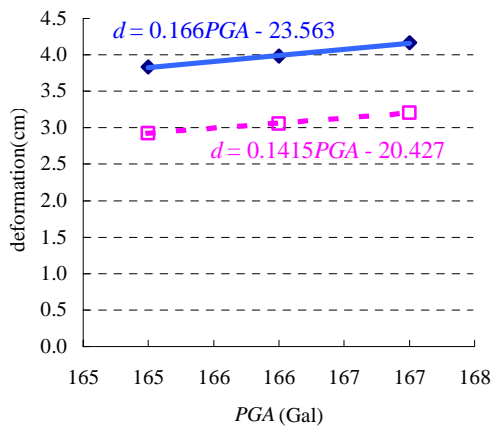
6) 広島港波



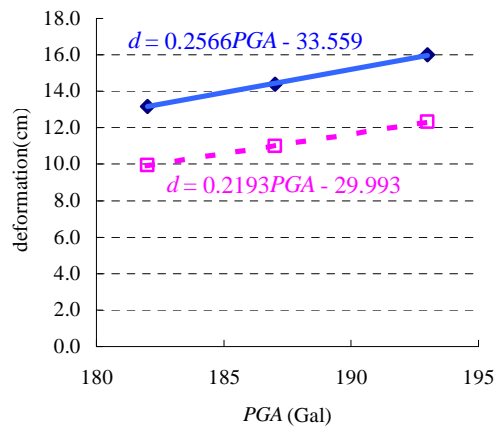
7) 高松港波



8) 高知港波



9) 博多港波



10) 鹿児島港波

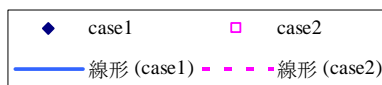


図-B.5.2 入力加速度最大値と残留変形量の関係 (重力式: 水深-11.0m, kh=0.20)

表-B.6 入力加速度最大値と残留変形量（重力式：水深-14.5m,kh=0.20）

| 水深<br>・<br>震度     | 地盤ケース | 地震<br>信頼度 | 変形量(cm) |      |      |      |      |      |      |      |      |      | 入力加速度最大値(Gal) |      |      |      |      |      |      |      |      |      |
|-------------------|-------|-----------|---------|------|------|------|------|------|------|------|------|------|---------------|------|------|------|------|------|------|------|------|------|
|                   |       |           | 苦小牧     | 八戸   | 東京   | 名古屋  | 岩国   | 広島   | 高松   | 高知   | 博多   | 鹿児島  | 苦小牧           | 八戸   | 東京   | 名古屋  | 岩国   | 広島   | 高松   | 高知   | 博多   | 鹿児島  |
|                   |       |           | 9013    | 9106 | 9207 | 9308 | 9516 | 9517 | 9603 | 9611 | 9701 | 9729 | 9013          | 9106 | 9207 | 9308 | 9516 | 9517 | 9603 | 9611 | 9701 | 9729 |
| -14.5m<br>kh=0.20 | 1     | L30       | 7.5     | 14.5 | 6.5  | 6.9  | 4.4  | 12.5 | 6.2  | 10.5 | 5.2  | 14.7 | 142           | 186  | 120  | 130  | 305  | 330  | 107  | 180  | 165  | 182  |
|                   |       | L50       | 8.3     | 17.8 | 7.0  | 7.3  | 4.6  | 13.5 | 6.5  | 11.8 | 5.3  | 16.0 | 148           | 207  | 127  | 134  | 312  | 336  | 109  | 192  | 166  | 187  |
|                   |       | L70       | 9.3     | 22.3 | 7.8  | 7.9  | 4.9  | 14.6 | 7.0  | 13.4 | 5.3  | 17.7 | 155           | 233  | 135  | 139  | 320  | 343  | 113  | 206  | 167  | 193  |
|                   | 2     | L30       | 4.0     | 9.1  | 4.6  | 3.4  | 3.5  | 6.5  | 4.2  | 7.9  | 4.0  | 10.0 | 142           | 186  | 120  | 130  | 305  | 330  | 107  | 180  | 165  | 182  |
|                   |       | L50       | 4.5     | 12.6 | 5.0  | 3.6  | 3.7  | 7.1  | 4.5  | 9.0  | 4.0  | 10.9 | 148           | 207  | 127  | 134  | 312  | 336  | 109  | 192  | 166  | 187  |
|                   |       | L70       | 5.1     | 18.4 | 5.7  | 3.9  | 3.9  | 7.9  | 4.8  | 10.4 | 4.0  | 12.1 | 155           | 233  | 135  | 139  | 320  | 343  | 113  | 206  | 167  | 193  |

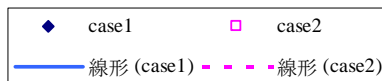
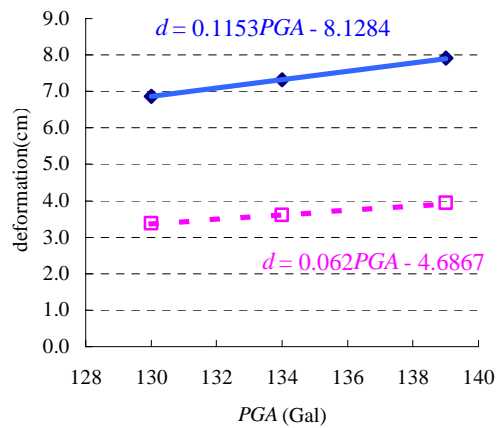
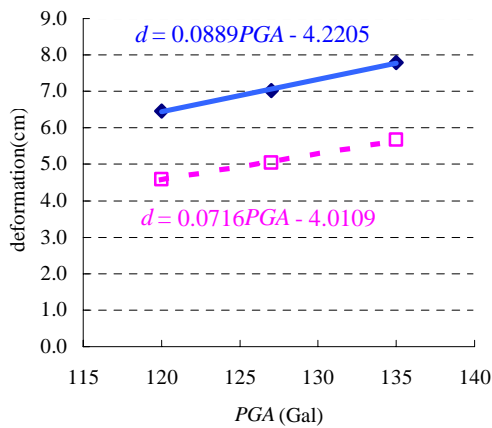
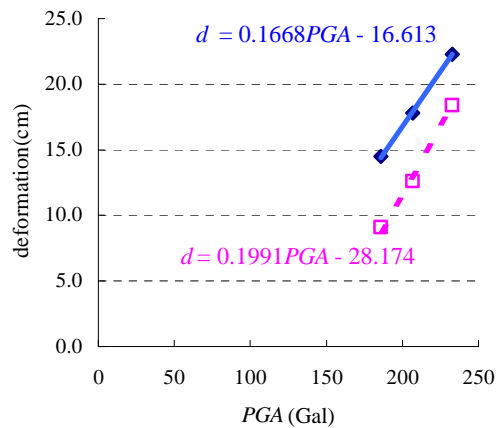
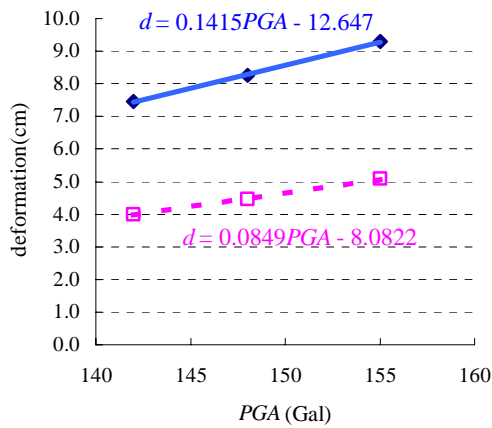
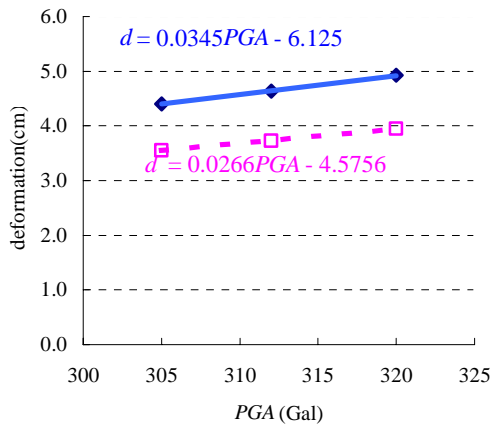
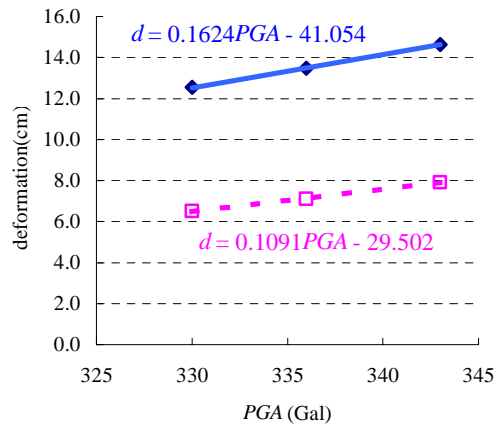


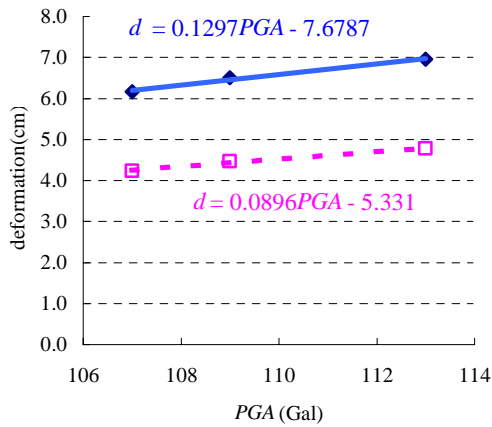
図-B.6.1 入力加速度最大値と残留変形量の関係（重力式：水深-14.5m,kh=0.20）



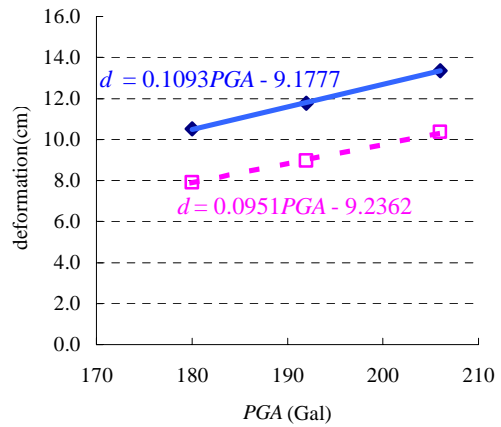
5) 岩国港波



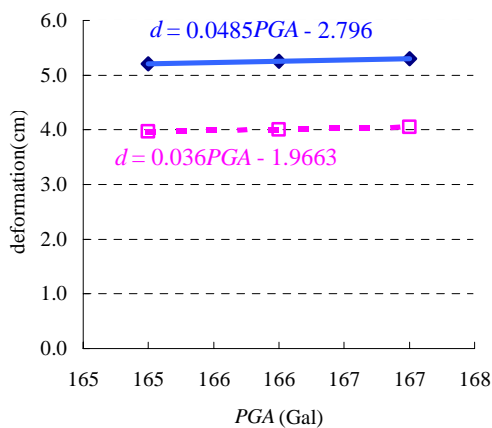
6) 広島港波



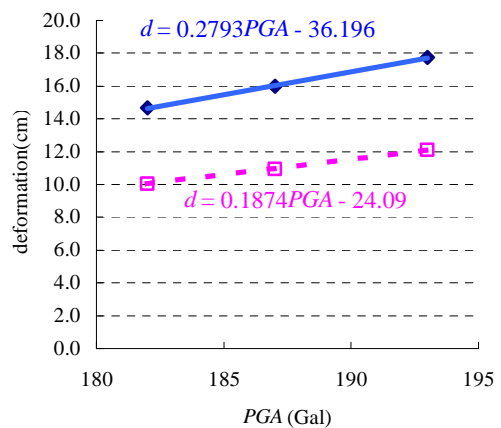
7) 高松港波



8) 高知港波



9) 博多港波



10) 鹿児島港波

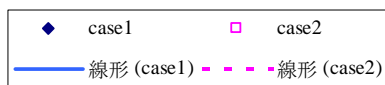


図-B.6.2 入力加速度最大値と残留変形量の関係 (重力式:水深-14.5m,kh=0.20)

表-B.7 入力加速度最大値と残留変形量（重力式：水深-14.5m,kh=0.25）

| 水深<br>・<br>震度     | 地盤ケース | 地震<br>信頼度 | 変形量(cm) |      |      |      |      |      |      |      |      |      | 入力加速度最大値(Gal) |      |      |      |      |      |      |      |      |      |
|-------------------|-------|-----------|---------|------|------|------|------|------|------|------|------|------|---------------|------|------|------|------|------|------|------|------|------|
|                   |       |           | 苦小牧     | 八戸   | 東京   | 名古屋  | 岩国   | 広島   | 高松   | 高知   | 博多   | 鹿児島  | 苦小牧           | 八戸   | 東京   | 名古屋  | 岩国   | 広島   | 高松   | 高知   | 博多   | 鹿児島  |
|                   |       |           | 9013    | 9106 | 9207 | 9308 | 9516 | 9517 | 9603 | 9611 | 9701 | 9729 | 9013          | 9106 | 9207 | 9308 | 9516 | 9517 | 9603 | 9611 | 9701 | 9729 |
| -14.5m<br>kh=0.25 | 1     | L30       | 6.7     | 12.5 | 5.9  | 6.1  | 4.1  | 11.0 | 5.6  | 9.6  | 4.9  | 12.8 | 142           | 186  | 120  | 130  | 305  | 330  | 107  | 180  | 165  | 182  |
|                   |       | L50       | 7.4     | 15.3 | 6.4  | 6.5  | 4.3  | 11.7 | 5.9  | 10.7 | 4.9  | 13.9 | 148           | 207  | 127  | 134  | 312  | 336  | 109  | 192  | 166  | 187  |
|                   |       | L70       | 8.3     | 18.9 | 7.1  | 7.0  | 4.6  | 12.7 | 6.3  | 12.1 | 4.9  | 15.2 | 155           | 233  | 135  | 139  | 320  | 343  | 113  | 206  | 167  | 193  |
|                   | 2     | L30       | 3.5     | 7.3  | 3.9  | 2.9  | 3.2  | 5.7  | 3.6  | 6.7  | 3.5  | 8.0  | 142           | 186  | 120  | 130  | 305  | 330  | 107  | 180  | 165  | 182  |
|                   |       | L50       | 3.9     | 9.7  | 4.3  | 3.1  | 3.3  | 6.1  | 3.8  | 7.5  | 3.6  | 8.7  | 148           | 207  | 127  | 134  | 312  | 336  | 109  | 192  | 166  | 187  |
|                   |       | L70       | 4.4     | 13.6 | 4.8  | 3.4  | 3.5  | 6.7  | 4.1  | 8.6  | 3.6  | 9.5  | 155           | 233  | 135  | 139  | 320  | 343  | 113  | 206  | 167  | 193  |

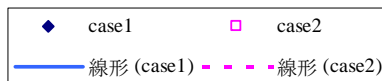
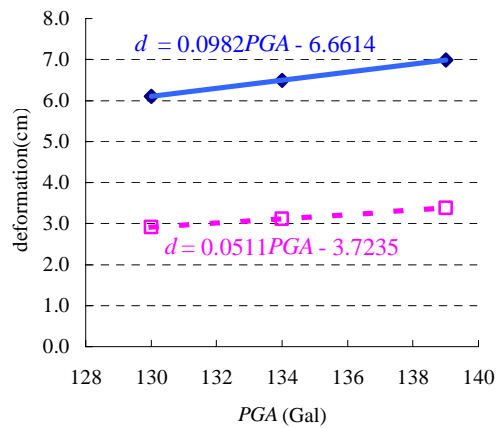
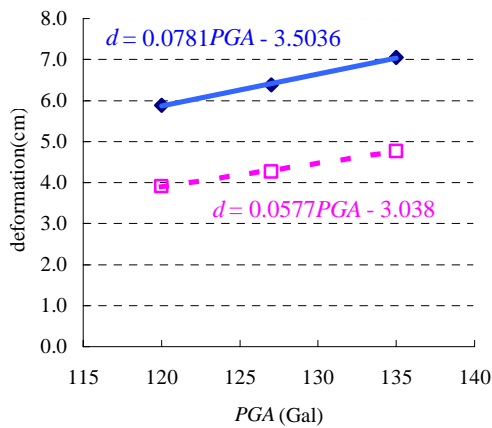
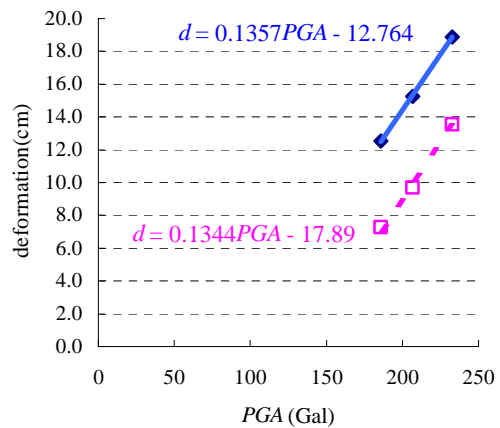
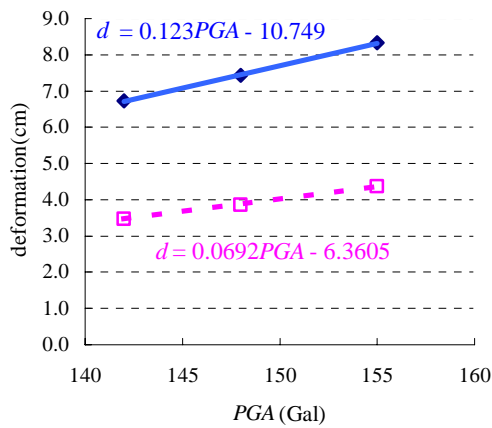
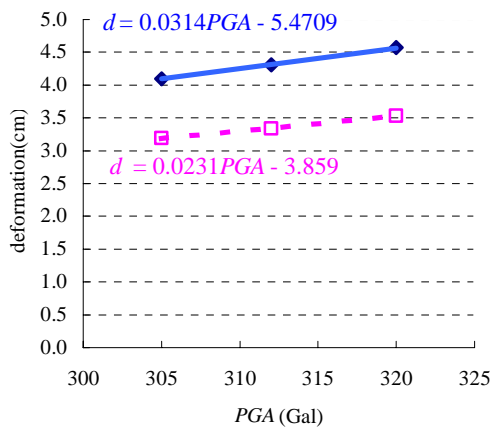
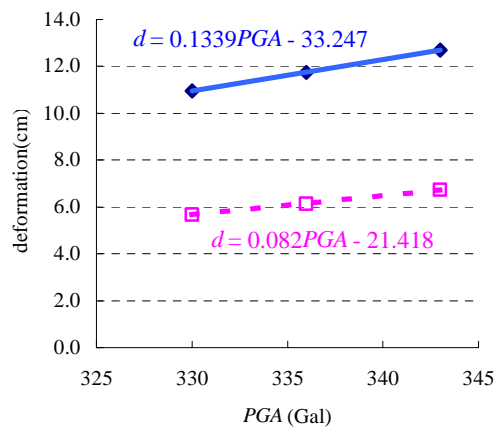


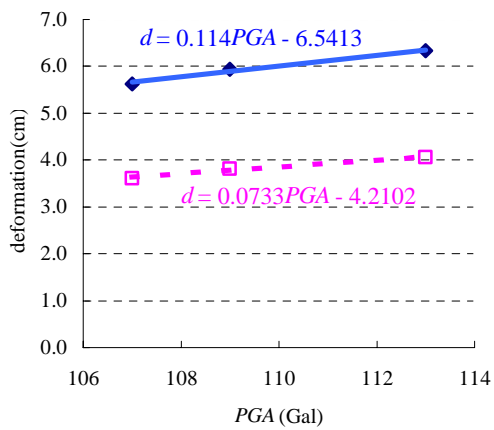
図-B.7.1 入力加速度最大値と残留変形量の関係（重力式：水深-14.5m,kh=0.25）



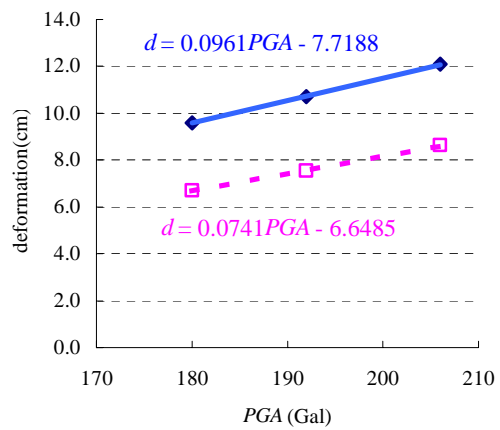
5) 岩国港波



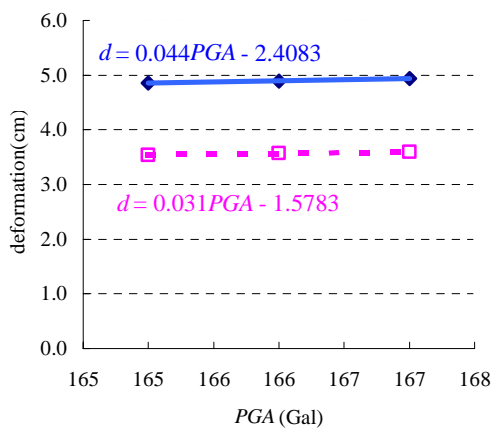
6) 広島港波



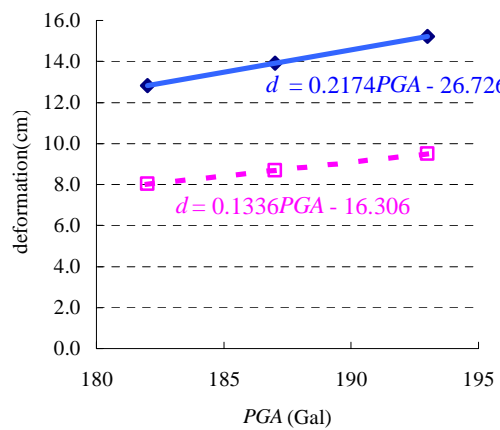
7) 高松港波



8) 高知港波



9) 博多港波



10) 鹿児島港波

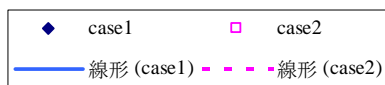


図-B.7.2 入力加速度最大値と残留変形量の関係 (重力式:水深-14.5m,kh=0.25)

表-B.8 入力加速度最大値と残留変形量（重力式：水深-14.5m,kh=0.27）

| 水深<br>・<br>震度     | 地盤ケース | 地震<br>信頼度 | 変形量(cm) |      |      |      |      |      |      |      |      |      | 入力加速度最大値(Gal) |      |      |      |      |      |      |      |      |      |
|-------------------|-------|-----------|---------|------|------|------|------|------|------|------|------|------|---------------|------|------|------|------|------|------|------|------|------|
|                   |       |           | 苦小牧     | 八戸   | 東京   | 名古屋  | 岩国   | 広島   | 高松   | 高知   | 博多   | 鹿児島  | 苦小牧           | 八戸   | 東京   | 名古屋  | 岩国   | 広島   | 高松   | 高知   | 博多   | 鹿児島  |
|                   |       |           | 9013    | 9106 | 9207 | 9308 | 9516 | 9517 | 9603 | 9611 | 9701 | 9729 | 9013          | 9106 | 9207 | 9308 | 9516 | 9517 | 9603 | 9611 | 9701 | 9729 |
| -14.5m<br>kh=0.27 | 1     | L30       | 6.4     | 11.8 | 5.6  | 5.8  | 3.9  | 10.3 | 5.4  | 9.2  | 4.7  | 12.2 | 142           | 186  | 120  | 130  | 305  | 330  | 107  | 180  | 165  | 182  |
|                   |       | L50       | 7.1     | 14.3 | 6.1  | 6.1  | 4.1  | 11.1 | 5.7  | 10.3 | 4.7  | 13.2 | 148           | 207  | 127  | 134  | 312  | 336  | 109  | 192  | 166  | 187  |
|                   |       | L70       | 7.9     | 17.7 | 6.7  | 6.6  | 4.4  | 12.0 | 6.0  | 11.6 | 4.7  | 14.4 | 155           | 233  | 135  | 139  | 320  | 343  | 113  | 206  | 167  | 193  |
|                   | 2     | L30       | 3.3     | 6.7  | 3.7  | 2.7  | 3.0  | 5.4  | 3.4  | 6.3  | 3.4  | 7.4  | 142           | 186  | 120  | 130  | 305  | 330  | 107  | 180  | 165  | 182  |
|                   |       | L50       | 3.6     | 8.8  | 4.0  | 2.9  | 3.2  | 5.8  | 3.6  | 7.1  | 3.4  | 8.0  | 148           | 207  | 127  | 134  | 312  | 336  | 109  | 192  | 166  | 187  |
|                   |       | L70       | 4.1     | 12.1 | 4.5  | 3.2  | 3.4  | 6.3  | 3.8  | 8.1  | 3.4  | 8.7  | 155           | 233  | 135  | 139  | 320  | 343  | 113  | 206  | 167  | 193  |

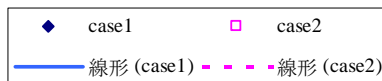
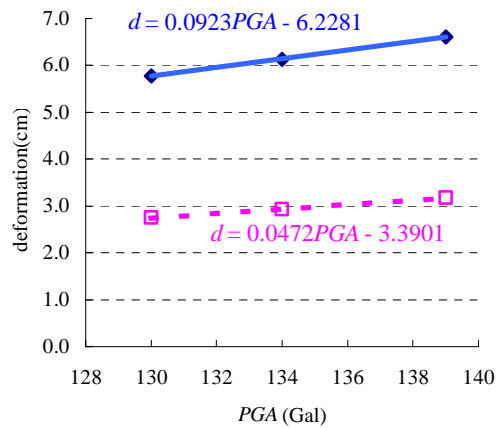
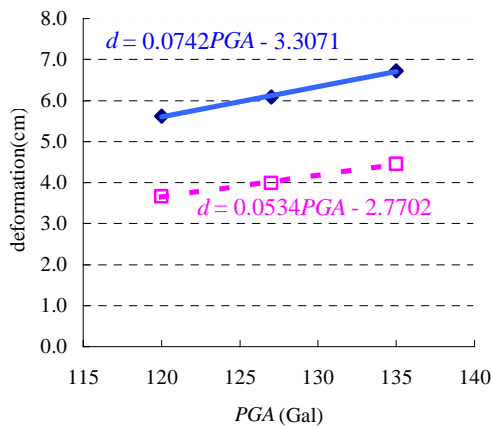
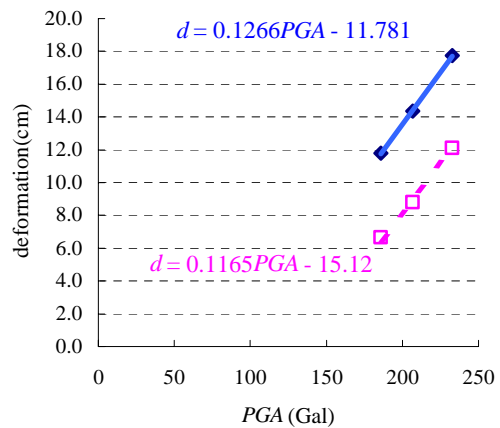
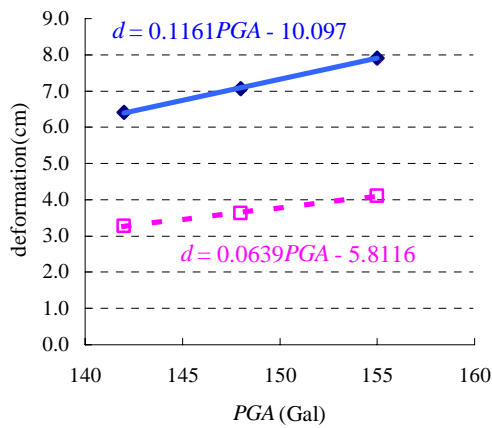
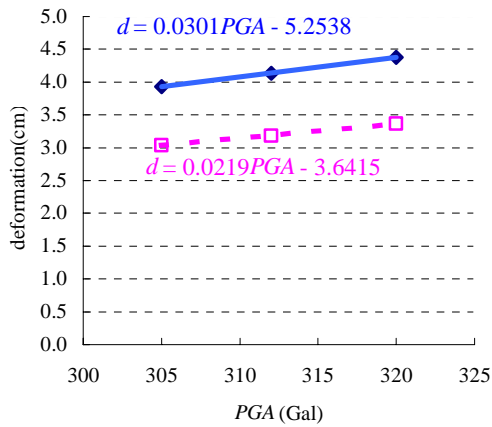
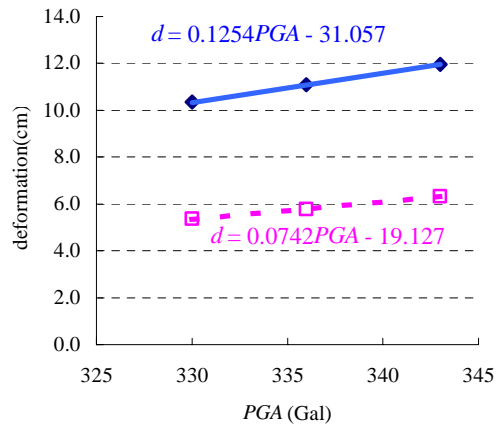


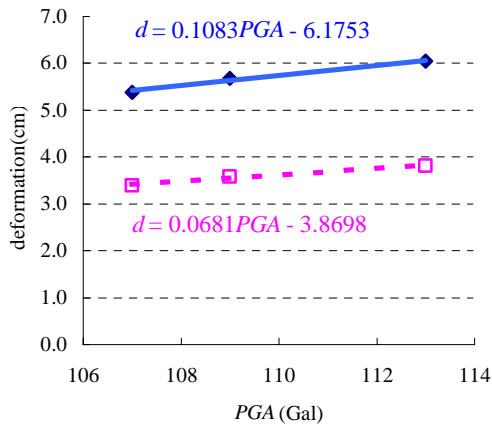
図-B.8.1 入力加速度最大値と残留変形量の関係（重力式：水深-14.5m,kh=0.27）



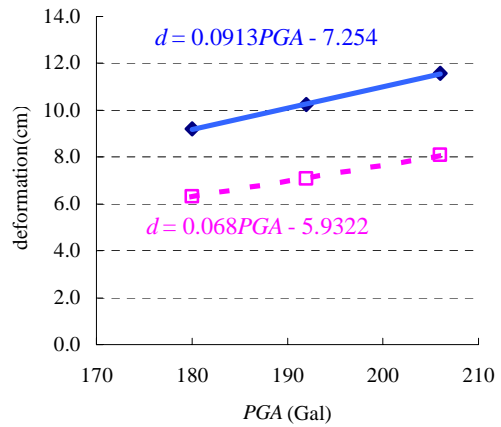
5) 岩国港波



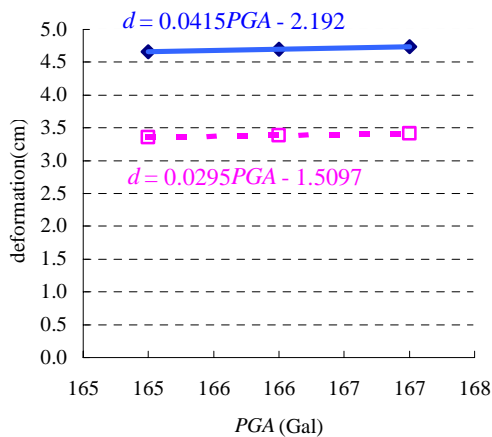
6) 広島港波



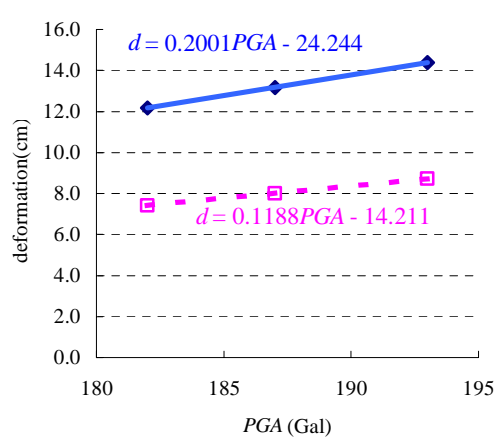
7) 高松港波



8) 高知港波



9) 博多港波



10) 鹿児島港波

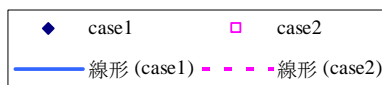
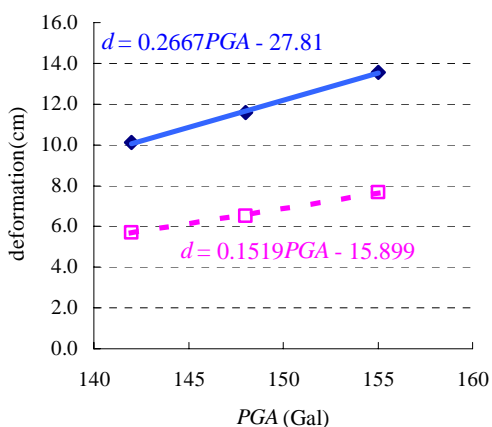


図-B.8.2 入力加速度最大値と残留変形量の関係 (重力式:水深-14.5m,kh=0.27)

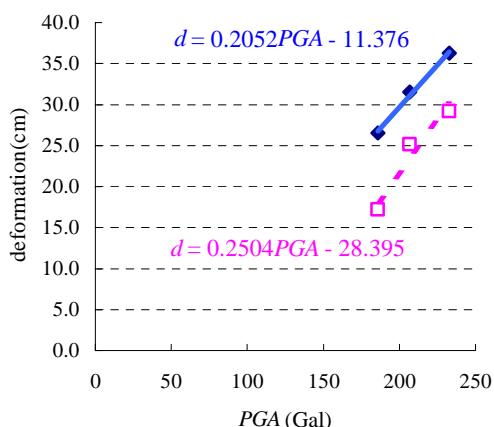


表-B.9 入力加速度最大値と残留変形量（控え直杭式：水深-7.5m,kh=0.10）

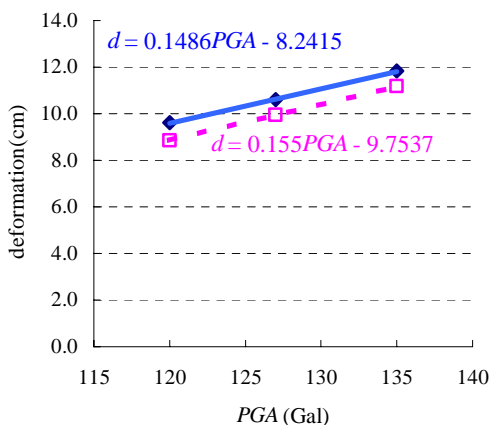
| 水深<br>・<br>震度    | 地盤ケース | 地震<br>信頼度 | 変形量(cm) |      |      |      |      |      |      |      |      |      | 入力加速度最大値(Gal) |      |      |      |      |      |      |      |      |      |
|------------------|-------|-----------|---------|------|------|------|------|------|------|------|------|------|---------------|------|------|------|------|------|------|------|------|------|
|                  |       |           | 苦小牧     | 八戸   | 東京   | 名古屋  | 岩国   | 広島   | 高松   | 高知   | 博多   | 鹿児島  | 苦小牧           | 八戸   | 東京   | 名古屋  | 岩国   | 広島   | 高松   | 高知   | 博多   | 鹿児島  |
|                  |       |           | 9013    | 9106 | 9207 | 9308 | 9516 | 9517 | 9603 | 9611 | 9701 | 9729 | 9013          | 9106 | 9207 | 9308 | 9516 | 9517 | 9603 | 9611 | 9701 | 9729 |
| -7.5m<br>kh=0.10 | 1     | L30       | 10.1    | 26.6 | 9.6  | 9.1  | 5.5  | 20.1 | 9.3  | 15.7 | 6.5  | 25.6 | 142           | 186  | 120  | 130  | 305  | 330  | 107  | 180  | 165  | 182  |
|                  |       | L50       | 11.6    | 31.5 | 10.6 | 9.8  | 5.8  | 22.4 | 9.8  | 17.6 | 6.5  | 27.9 | 148           | 207  | 127  | 134  | 312  | 336  | 109  | 192  | 166  | 187  |
|                  |       | L70       | 13.6    | 36.3 | 11.8 | 10.8 | 6.2  | 24.9 | 10.7 | 19.8 | 6.6  | 30.6 | 155           | 233  | 135  | 139  | 320  | 343  | 113  | 206  | 167  | 193  |
|                  | 2     | L30       | 5.7     | 17.2 | 8.8  | 5.0  | 6.0  | 10.7 | 7.6  | 14.5 | 6.5  | 18.6 | 142           | 186  | 120  | 130  | 305  | 330  | 107  | 180  | 165  | 182  |
|                  |       | L50       | 6.5     | 25.2 | 9.9  | 5.3  | 6.3  | 12.1 | 8.1  | 15.8 | 6.5  | 20.0 | 148           | 207  | 127  | 134  | 312  | 336  | 109  | 192  | 166  | 187  |
|                  |       | L70       | 7.7     | 29.2 | 11.2 | 5.8  | 6.7  | 14.6 | 9.0  | 17.5 | 6.6  | 22.1 | 155           | 233  | 135  | 139  | 320  | 343  | 113  | 206  | 167  | 193  |



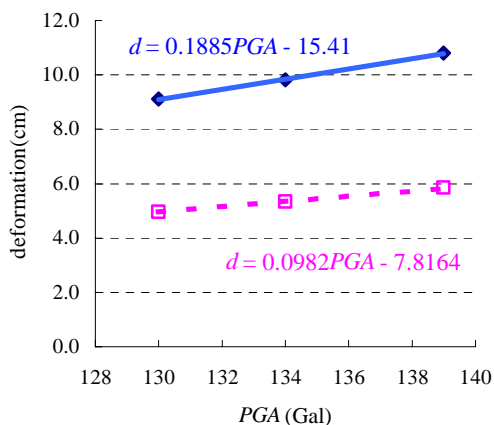
1) 苦小牧港波



2) 八戸港波



3) 東京港波



4) 名古屋港波

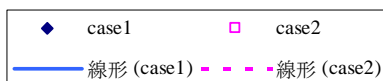
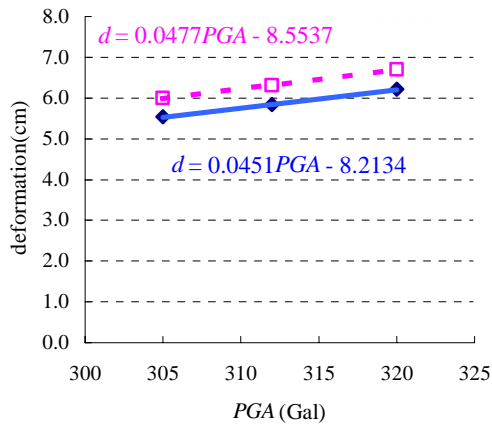
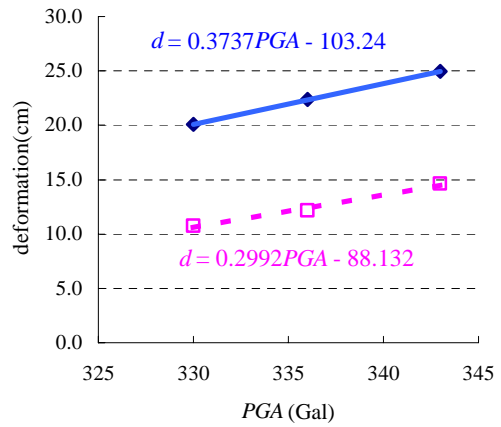


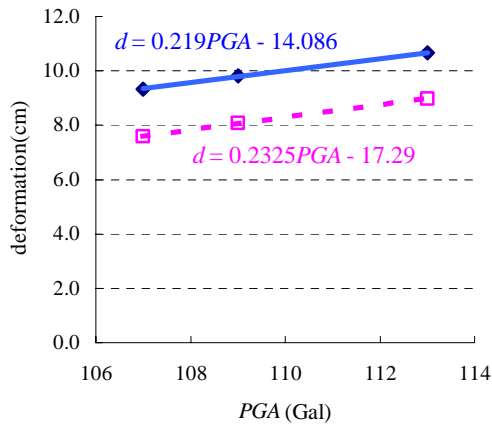
図-B.9.1 入力加速度最大値と残留変形量の関係（控え直杭式：水深-7.5m,kh=0.10）



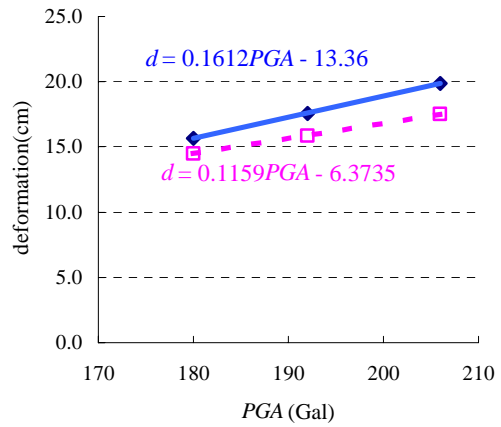
5) 岩国港波



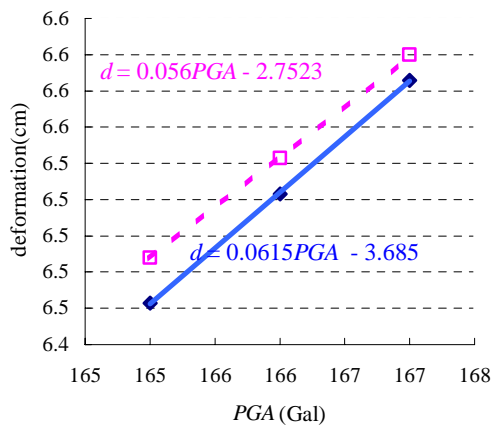
6) 広島港波



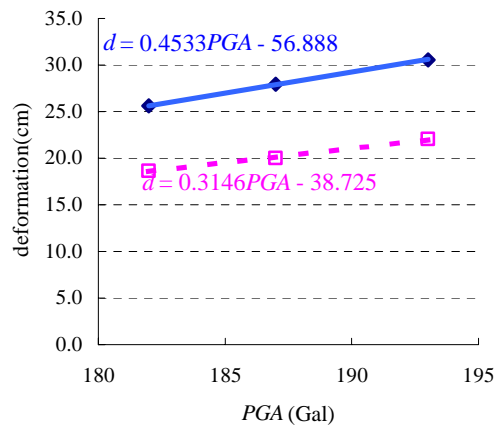
7) 高松港波



8) 高知港波



9) 博多港波



10) 鹿児島港波

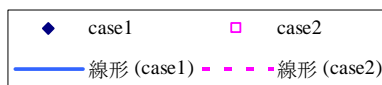
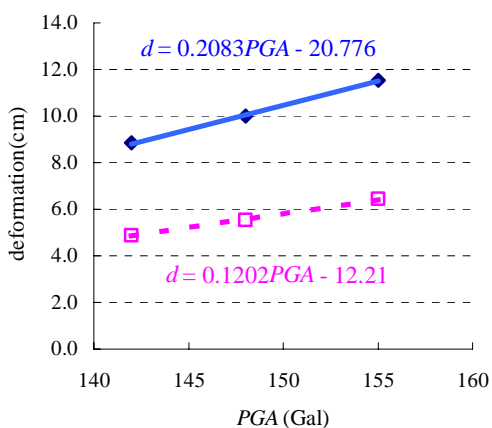


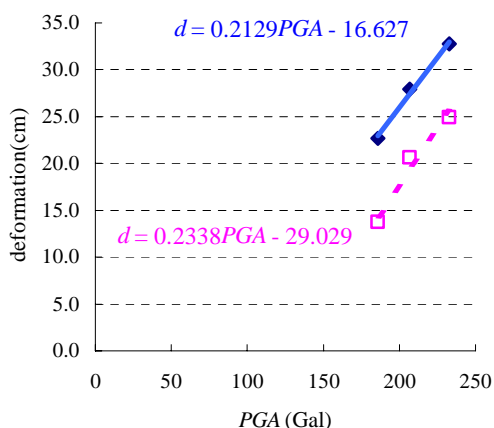
図-B.9.2 入力加速度最大値と残留変形量の関係 (控え直杭式: 水深-7.5m, kh=0.10)

表-B.10 入力加速度最大値と残留変形量 (控え直杭式：水深-7.5m,kh=0.15)

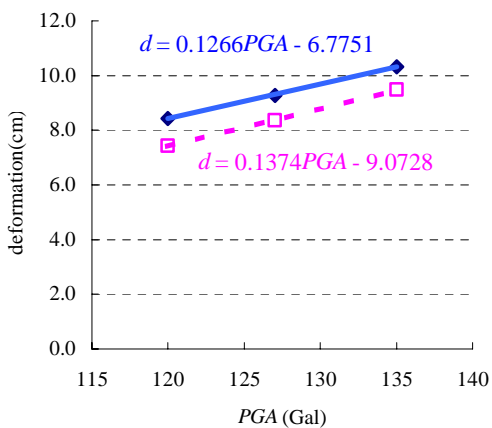
| 水深<br>・<br>震度    | 地盤ケース | 地震<br>信頼度 | 変形量(cm) |      |      |      |      |      |      |      |      |      | 入力加速度最大値(Gal) |      |      |      |      |      |      |      |      |      |
|------------------|-------|-----------|---------|------|------|------|------|------|------|------|------|------|---------------|------|------|------|------|------|------|------|------|------|
|                  |       |           | 苦小牧     | 八戸   | 東京   | 名古屋  | 岩国   | 広島   | 高松   | 高知   | 博多   | 鹿児島  | 苦小牧           | 八戸   | 東京   | 名古屋  | 岩国   | 広島   | 高松   | 高知   | 博多   | 鹿児島  |
|                  |       |           | 9013    | 9106 | 9207 | 9308 | 9516 | 9517 | 9603 | 9611 | 9701 | 9729 | 9013          | 9106 | 9207 | 9308 | 9516 | 9517 | 9603 | 9611 | 9701 | 9729 |
| -7.5m<br>kh=0.15 | 1     | L30       | 8.8     | 22.7 | 8.4  | 8.0  | 5.1  | 16.5 | 8.3  | 13.7 | 5.9  | 21.4 | 142           | 186  | 120  | 130  | 305  | 330  | 107  | 180  | 165  | 182  |
|                  |       | L50       | 10.0    | 28.0 | 9.3  | 8.6  | 5.4  | 18.4 | 8.7  | 15.4 | 6.0  | 23.6 | 148           | 207  | 127  | 134  | 312  | 336  | 109  | 192  | 166  | 187  |
|                  |       | L70       | 11.5    | 32.8 | 10.3 | 9.3  | 5.7  | 20.8 | 9.4  | 17.5 | 6.0  | 26.3 | 155           | 233  | 135  | 139  | 320  | 343  | 113  | 206  | 167  | 193  |
|                  | 2     | L30       | 4.9     | 13.8 | 7.4  | 4.3  | 5.3  | 8.9  | 6.4  | 12.3 | 5.7  | 15.8 | 142           | 186  | 120  | 130  | 305  | 330  | 107  | 180  | 165  | 182  |
|                  |       | L50       | 5.5     | 20.6 | 8.4  | 4.6  | 5.5  | 9.8  | 6.8  | 13.5 | 5.7  | 16.7 | 148           | 207  | 127  | 134  | 312  | 336  | 109  | 192  | 166  | 187  |
|                  |       | L70       | 6.4     | 24.9 | 9.5  | 5.0  | 5.9  | 11.2 | 7.4  | 15.0 | 5.8  | 18.1 | 155           | 233  | 135  | 139  | 320  | 343  | 113  | 206  | 167  | 193  |



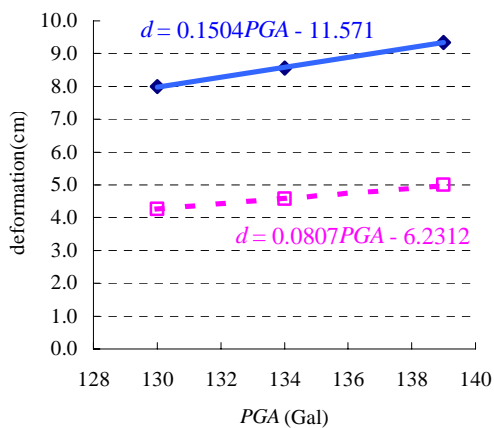
1) 苦小牧港波



2) 八戸港波



3) 東京港波



4) 名古屋港波

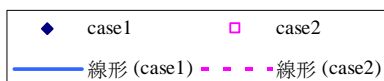
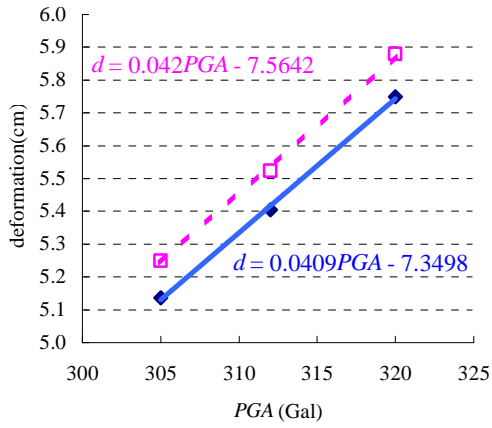
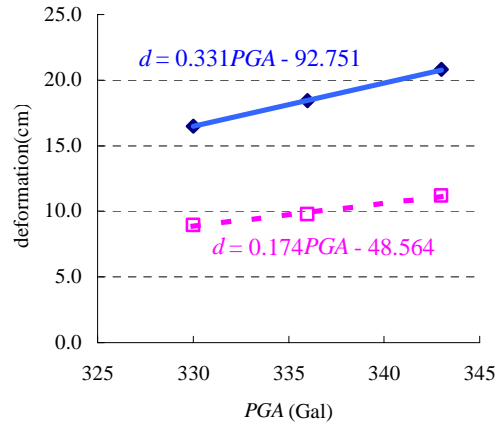


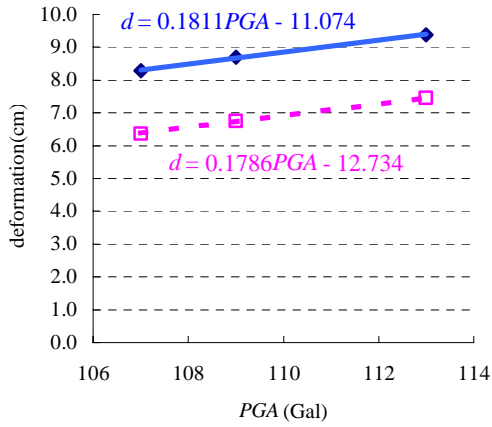
図-B.10.1 入力加速度最大値と残留変形量の関係 (控え直杭式：水深-7.5m,kh=0.15)



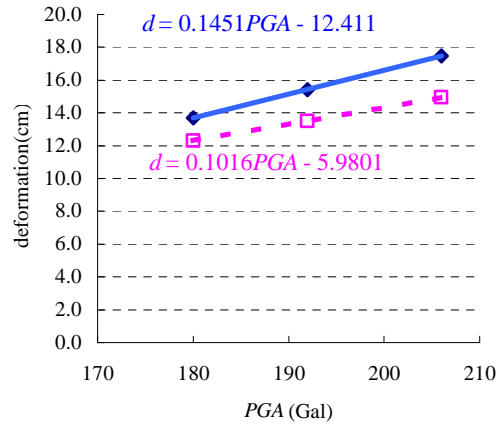
5) 岩国港波



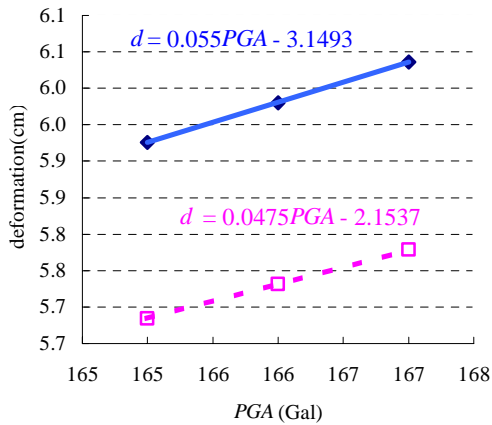
6) 広島港波



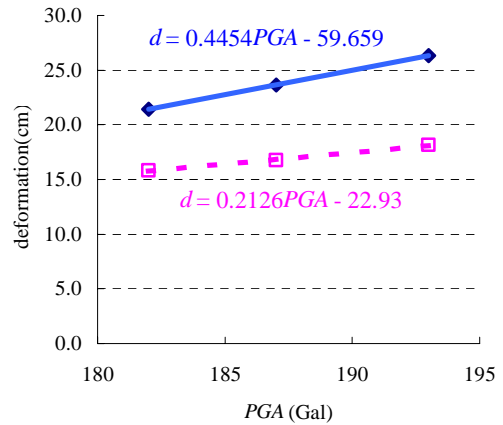
7) 高松港波



8) 高知港波



9) 博多港波



10) 鹿児島港波

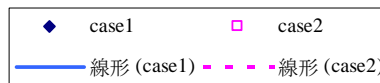
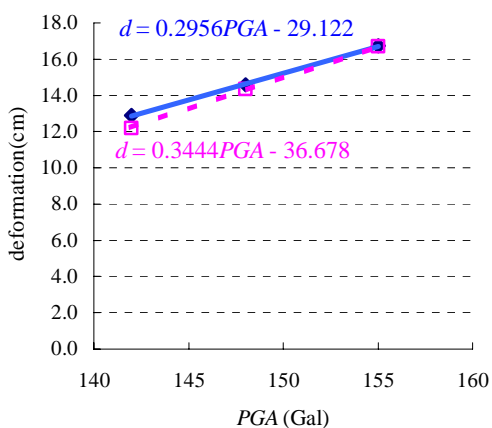


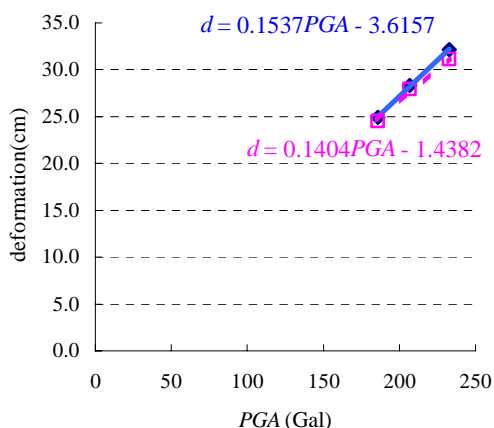
図-B. 10. 2 入力加速度最大値と残留変形量の関係 (控え直杭式: 水深-7.5m, kh=0.15)

表-B.11 入力加速度最大値と残留変形量 (控え直杭式:水深-11.0m,kh=0.10)

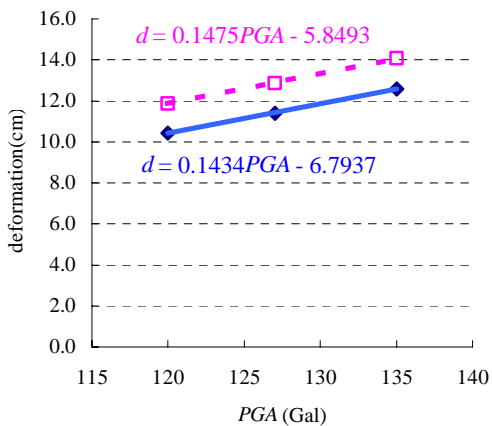
| 水深<br>・<br>震度     | 地盤ケース | 地震<br>信頼度 | 変形量(cm) |      |      |      |      |      |      |      |      |      | 入力加速度最大値(Gal) |      |      |      |      |      |      |      |      |      |
|-------------------|-------|-----------|---------|------|------|------|------|------|------|------|------|------|---------------|------|------|------|------|------|------|------|------|------|
|                   |       |           | 苦小牧     | 八戸   | 東京   | 名古屋  | 岩国   | 広島   | 高松   | 高知   | 博多   | 鹿児島  | 苦小牧           | 八戸   | 東京   | 名古屋  | 岩国   | 広島   | 高松   | 高知   | 博多   | 鹿児島  |
|                   |       |           | 9013    | 9106 | 9207 | 9308 | 9516 | 9517 | 9603 | 9611 | 9701 | 9729 | 9013          | 9106 | 9207 | 9308 | 9516 | 9517 | 9603 | 9611 | 9701 | 9729 |
| -11.0m<br>kh=0.10 | 1     | L30       | 12.9    | 24.9 | 10.4 | 11.8 | 5.3  | 22.0 | 10.3 | 15.5 | 6.5  | 26.8 | 142           | 186  | 120  | 130  | 305  | 330  | 107  | 180  | 165  | 182  |
|                   |       | L50       | 14.6    | 28.3 | 11.4 | 12.5 | 5.6  | 23.3 | 10.9 | 17.2 | 6.6  | 29.2 | 148           | 207  | 127  | 134  | 312  | 336  | 109  | 192  | 166  | 187  |
|                   |       | L70       | 16.7    | 32.2 | 12.6 | 13.5 | 6.0  | 24.9 | 11.8 | 19.1 | 6.7  | 32.4 | 155           | 233  | 135  | 139  | 320  | 343  | 113  | 206  | 167  | 193  |
|                   | 2     | L30       | 12.2    | 24.5 | 11.9 | 9.3  | 6.6  | 21.3 | 11.7 | 16.2 | 8.1  | 26.0 | 142           | 186  | 120  | 130  | 305  | 330  | 107  | 180  | 165  | 182  |
|                   |       | L50       | 14.3    | 27.9 | 12.9 | 10.1 | 6.9  | 22.9 | 12.2 | 17.6 | 8.2  | 28.1 | 148           | 207  | 127  | 134  | 312  | 336  | 109  | 192  | 166  | 187  |
|                   |       | L70       | 16.7    | 31.1 | 14.1 | 11.2 | 7.3  | 24.6 | 13.1 | 19.5 | 8.3  | 30.5 | 155           | 233  | 135  | 139  | 320  | 343  | 113  | 206  | 167  | 193  |



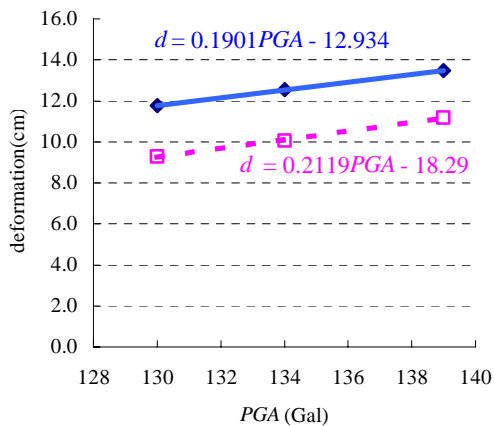
1) 苦小牧港波



2) 八戸港波



3) 東京港波



4) 名古屋港波

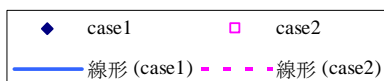
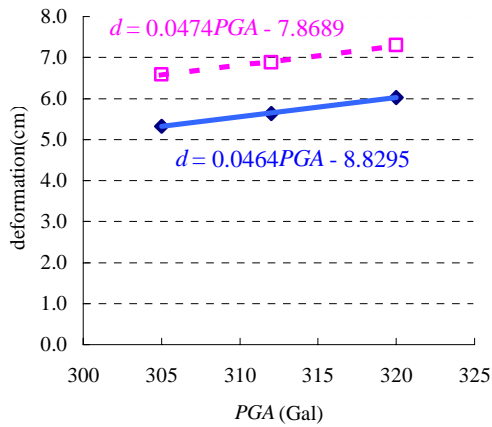
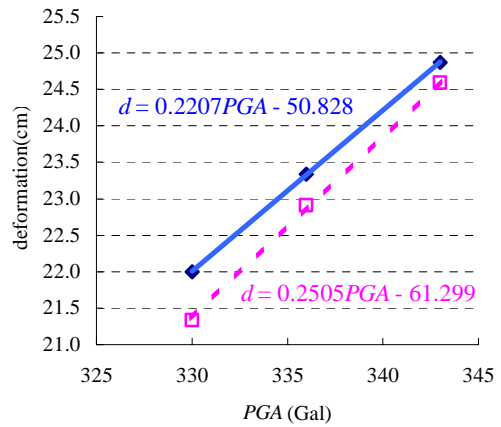


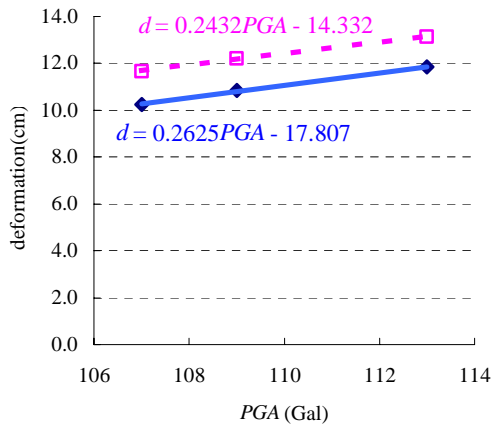
図-B.11.1 入力加速度最大値と残留変形量の関係 (控え直杭式:水深--11.0m,kh=0.10)



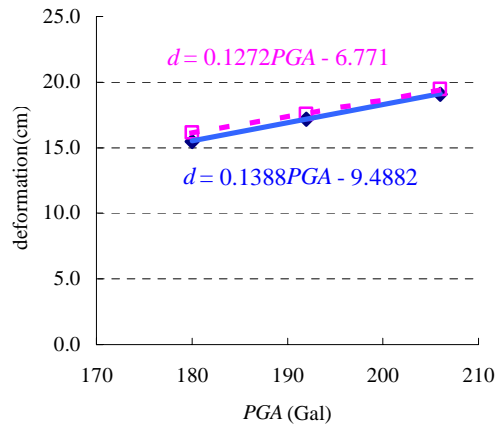
5) 岩国港波



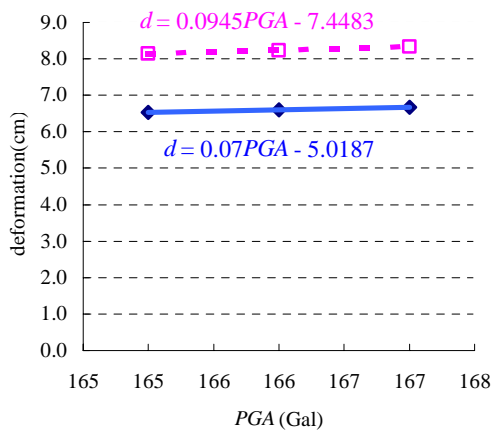
6) 広島港波



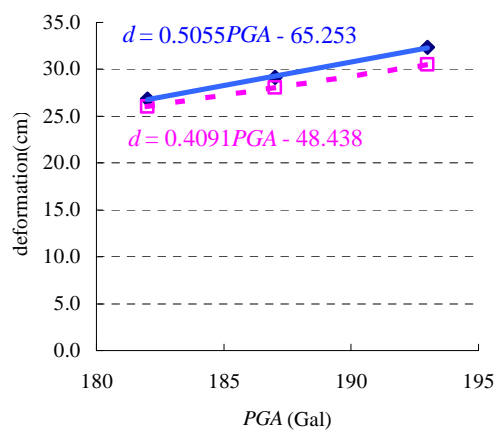
7) 高松港波



8) 高知港波



9) 博多港波



10) 鹿児島港波

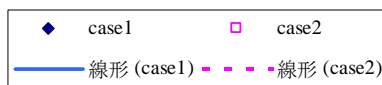
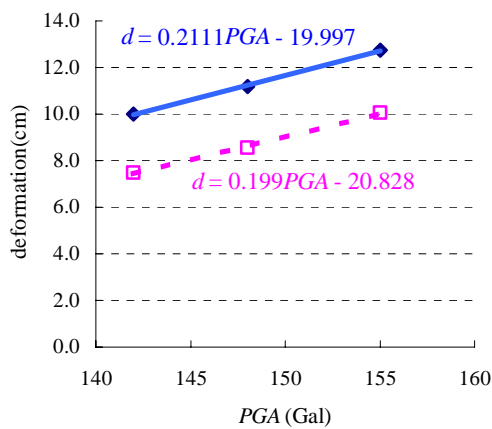


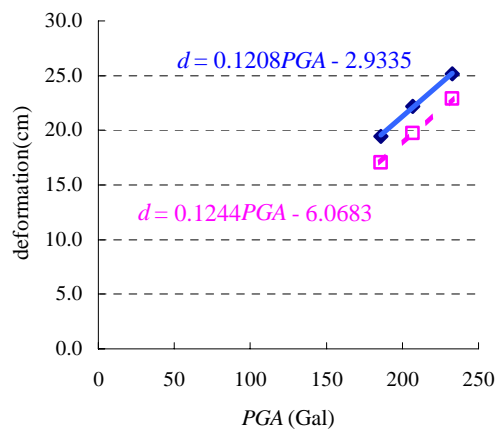
図-B.11.2 入力加速度最大値と残留変形量の関係 (控え直杭式：水深--11.0m,kh=0.10)

表-B.12 入力加速度最大値と残留変形量 (控え直杭式: 水深-11.0m,kh=0.15)

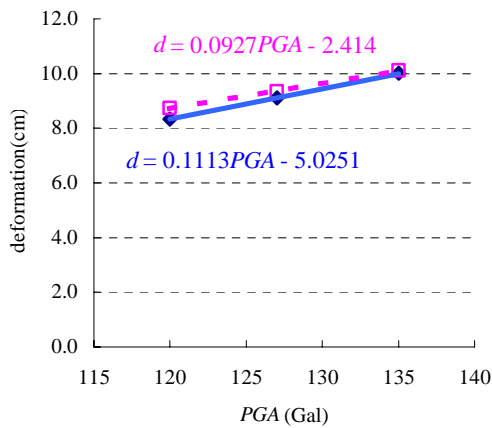
| 水深<br>・<br>震度     | 地盤クラス | 地震<br>信頼度 | 変形量(cm) |      |      |      |      |      |      |      |      |      | 入力加速度最大値(Gal) |      |      |      |      |      |      |      |      |      |
|-------------------|-------|-----------|---------|------|------|------|------|------|------|------|------|------|---------------|------|------|------|------|------|------|------|------|------|
|                   |       |           | 苦小牧     | 八戸   | 東京   | 名古屋  | 岩国   | 広島   | 高松   | 高知   | 博多   | 鹿児島  | 苦小牧           | 八戸   | 東京   | 名古屋  | 岩国   | 広島   | 高松   | 高知   | 博多   | 鹿児島  |
|                   |       |           | 9013    | 9106 | 9207 | 9308 | 9516 | 9517 | 9603 | 9611 | 9701 | 9729 | 9013          | 9106 | 9207 | 9308 | 9516 | 9517 | 9603 | 9611 | 9701 | 9729 |
| -11.0m<br>kh=0.15 | 1     | L30       | 10.0    | 19.5 | 8.3  | 9.3  | 4.6  | 17.3 | 8.1  | 12.1 | 5.4  | 20.4 | 142           | 186  | 120  | 130  | 305  | 330  | 107  | 180  | 165  | 182  |
|                   |       | L50       | 11.2    | 22.2 | 9.1  | 9.9  | 4.9  | 18.4 | 8.6  | 13.3 | 5.5  | 21.9 | 148           | 207  | 127  | 134  | 312  | 336  | 109  | 192  | 166  | 187  |
|                   |       | L70       | 12.8    | 25.1 | 10.0 | 10.6 | 5.2  | 19.7 | 9.3  | 14.7 | 5.5  | 24.1 | 155           | 233  | 135  | 139  | 320  | 343  | 113  | 206  | 167  | 193  |
|                   | 2     | L30       | 7.5     | 17.0 | 8.7  | 6.6  | 5.4  | 13.4 | 8.3  | 11.5 | 6.0  | 16.8 | 142           | 186  | 120  | 130  | 305  | 330  | 107  | 180  | 165  | 182  |
|                   |       | L50       | 8.5     | 19.7 | 9.3  | 7.0  | 5.6  | 14.8 | 8.6  | 12.2 | 6.1  | 18.2 | 148           | 207  | 127  | 134  | 312  | 336  | 109  | 192  | 166  | 187  |
|                   |       | L70       | 10.1    | 22.9 | 10.1 | 7.5  | 5.8  | 16.4 | 9.1  | 13.1 | 6.2  | 19.7 | 155           | 233  | 135  | 139  | 320  | 343  | 113  | 206  | 167  | 193  |



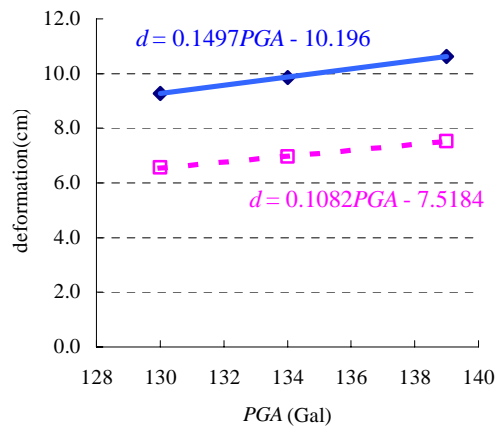
1) 苦小牧港波



2) 八戸港波



3) 東京港波



4) 名古屋港波

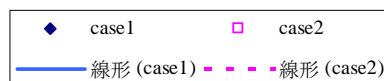
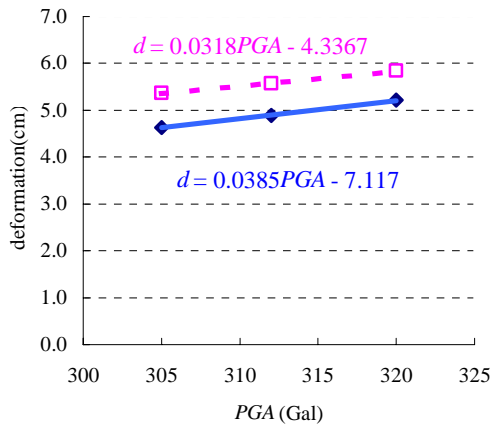
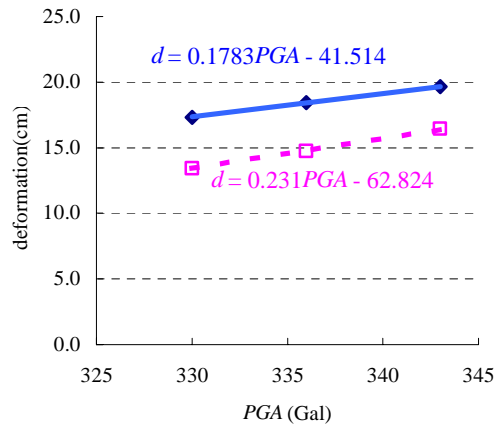


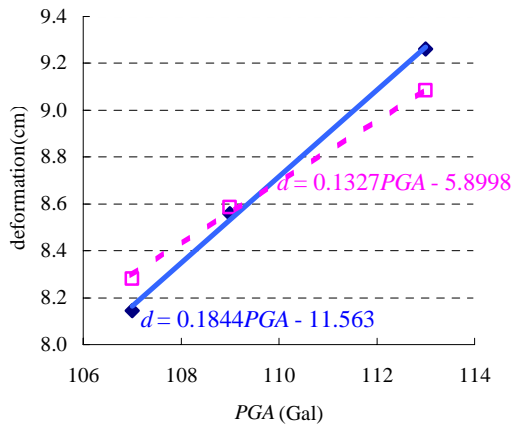
図-B.12.1 入力加速度最大値と残留変形量の関係 (控え直杭式: 水深--11.0m,kh=0.15)



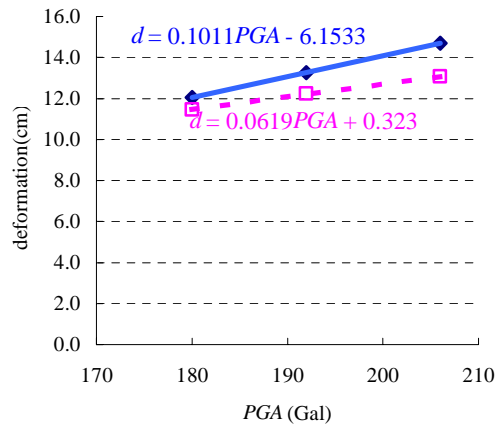
5) 岩国港波



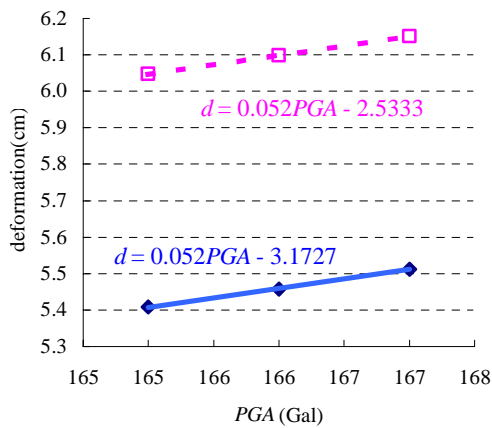
6) 広島港波



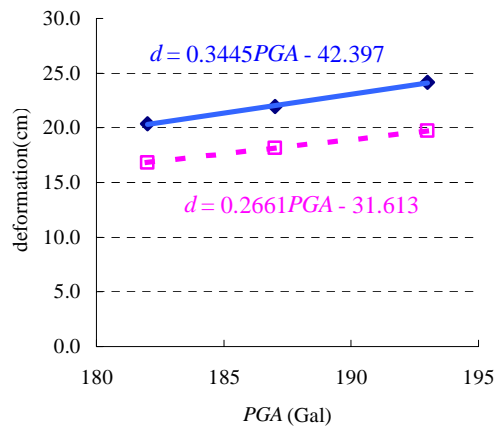
7) 高松港波



8) 高知港波



9) 博多港波



10) 鹿児島港波

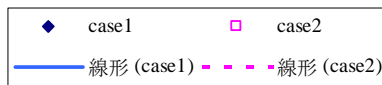
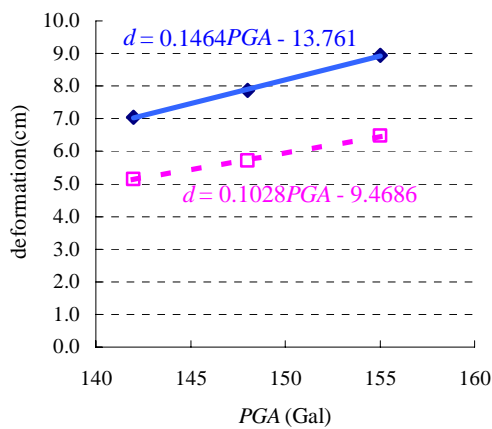


図-B.12.2 入力加速度最大値と残留変形量の関係 (控え直杭式：水深--11.0m,kh=0.15)

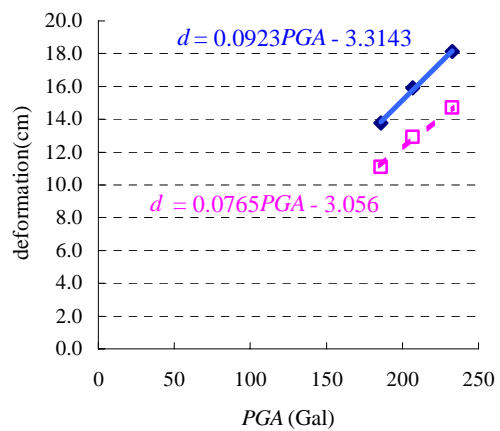


表-B.13 入力加速度最大値と残留変形量 (控え直杭式: 水深-11.0m,kh=0.20)

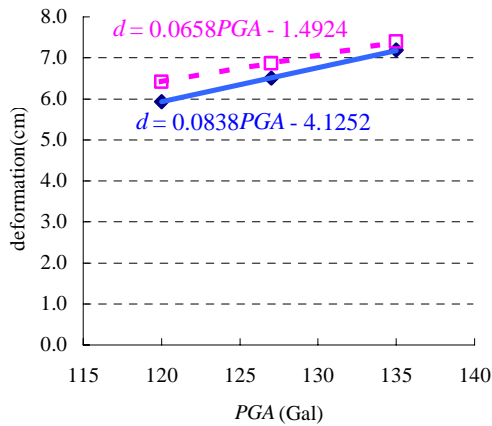
| 水深<br>・<br>震度     | 地盤ケース | 地震<br>信頼度 | 変形量(cm) |      |      |      |      |      |      |      |      |      |      | 入力加速度最大値(Gal) |      |      |      |      |      |      |      |      |  |  |
|-------------------|-------|-----------|---------|------|------|------|------|------|------|------|------|------|------|---------------|------|------|------|------|------|------|------|------|--|--|
|                   |       |           | 苦小牧     | 八戸   | 東京   | 名古屋  | 岩国   | 広島   | 高松   | 高知   | 博多   | 鹿児島  | 苦小牧  | 八戸            | 東京   | 名古屋  | 岩国   | 広島   | 高松   | 高知   | 博多   | 鹿児島  |  |  |
|                   |       |           | 9013    | 9106 | 9207 | 9308 | 9516 | 9517 | 9603 | 9611 | 9701 | 9729 | 9013 | 9106          | 9207 | 9308 | 9516 | 9517 | 9603 | 9611 | 9701 | 9729 |  |  |
| -11.0m<br>kh=0.20 | 1     | L30       | 7.0     | 13.8 | 5.9  | 6.5  | 3.4  | 12.3 | 5.8  | 8.7  | 3.9  | 14.2 | 142  | 186           | 120  | 130  | 305  | 330  | 107  | 180  | 165  | 182  |  |  |
|                   |       | L50       | 7.9     | 15.9 | 6.5  | 6.9  | 3.6  | 13.3 | 6.1  | 9.6  | 4.0  | 15.3 | 148  | 207           | 127  | 134  | 312  | 336  | 109  | 192  | 166  | 187  |  |  |
|                   |       | L70       | 8.9     | 18.1 | 7.2  | 7.5  | 3.8  | 14.3 | 6.5  | 10.6 | 4.0  | 16.7 | 155  | 233           | 135  | 139  | 320  | 343  | 113  | 206  | 167  | 193  |  |  |
|                   | 2     | L30       | 5.1     | 11.1 | 6.4  | 4.7  | 4.2  | 8.3  | 6.1  | 7.7  | 4.4  | 10.1 | 142  | 186           | 120  | 130  | 305  | 330  | 107  | 180  | 165  | 182  |  |  |
|                   |       | L50       | 5.7     | 12.9 | 6.9  | 5.0  | 4.3  | 9.2  | 6.4  | 8.2  | 4.5  | 10.8 | 148  | 207           | 127  | 134  | 312  | 336  | 109  | 192  | 166  | 187  |  |  |
|                   |       | L70       | 6.5     | 14.7 | 7.4  | 5.4  | 4.6  | 10.4 | 6.8  | 8.7  | 4.5  | 12.0 | 155  | 233           | 135  | 139  | 320  | 343  | 113  | 206  | 167  | 193  |  |  |



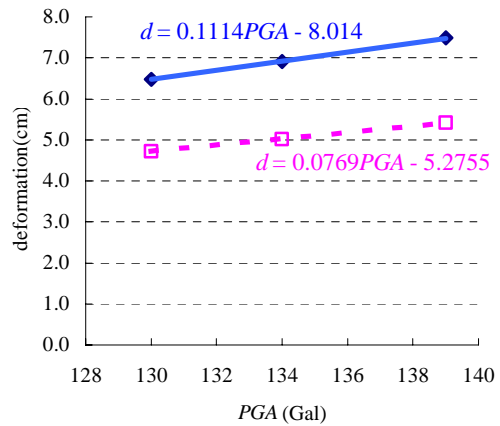
1) 苦小牧港波



2) 八戸港波



3) 東京港波



4) 名古屋港波

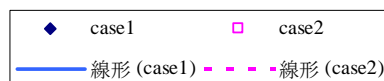
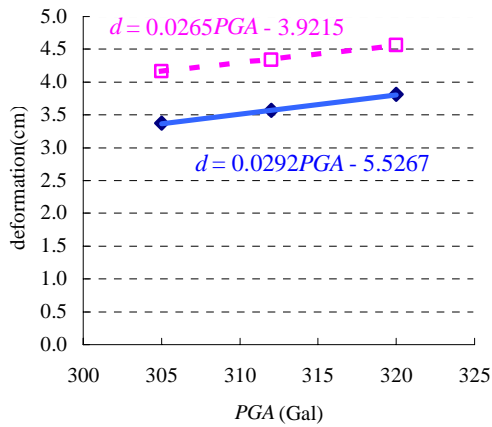
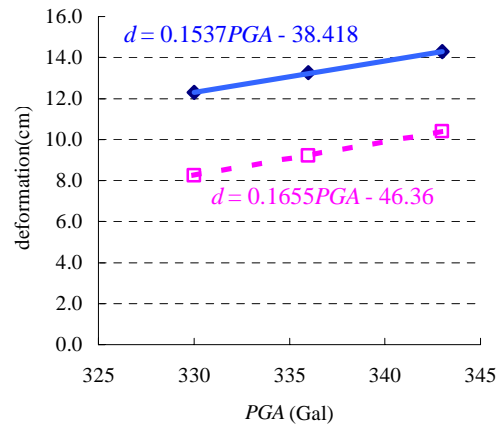


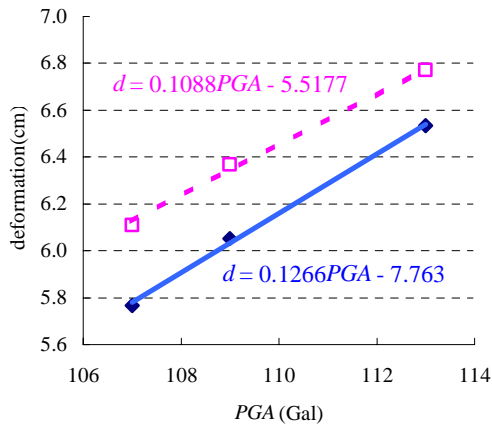
図-B.13.1 入力加速度最大値と残留変形量の関係 (控え直杭式: 水深-11.0m,kh=0.20)



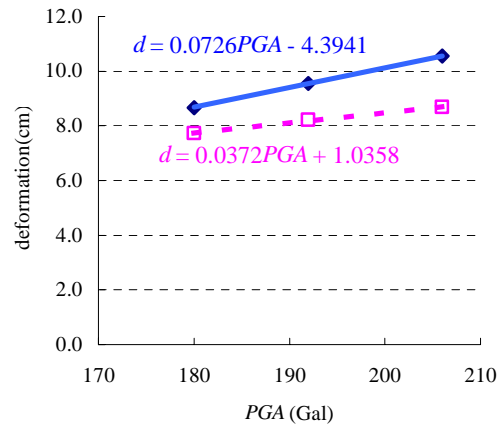
5) 岩国港波



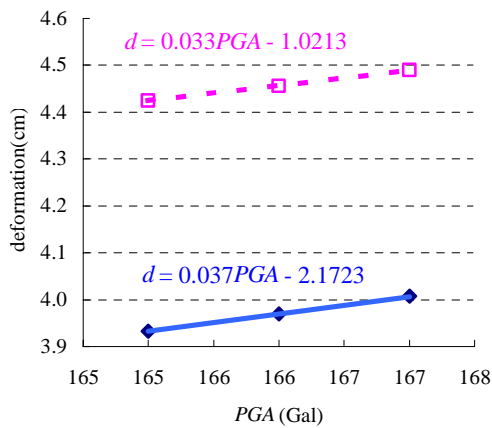
6) 広島港波



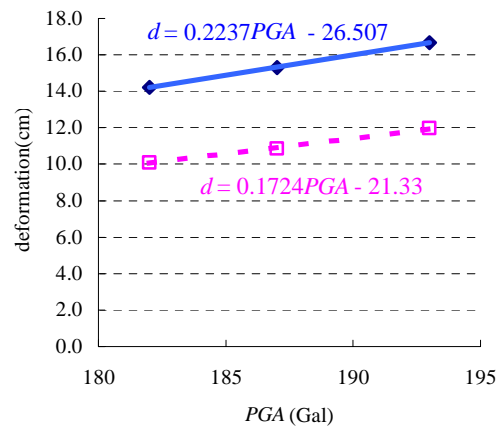
7) 高松港波



8) 高知港波



9) 博多港波



10) 鹿児島港波

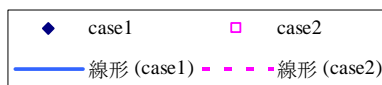
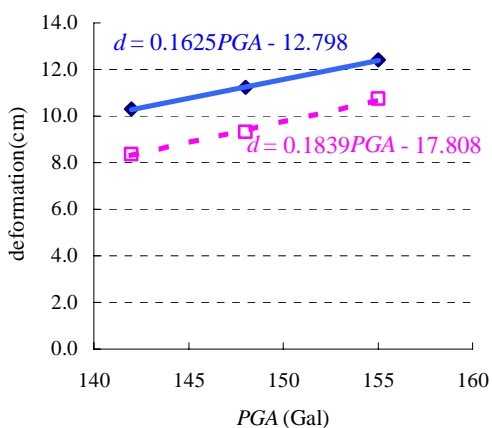


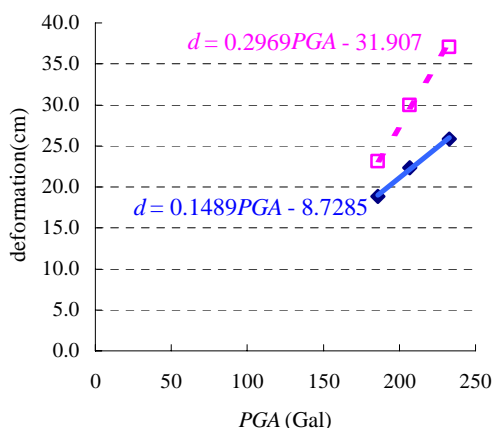
図-B.13.2 入力加速度最大値と残留変形量の関係 (控え直杭式: 水深-11.0m, kh=0.20)

表-B.14 入力加速度最大値と残留変形量 (控え組杭式:水深-11.0m,kh=0.15)

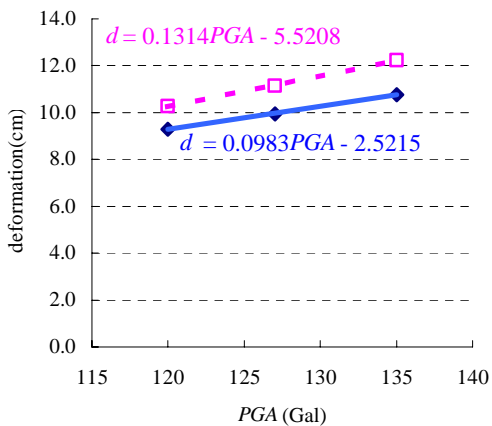
| 水深<br>・<br>震度     | 地盤ケース | 地震<br>信頼度 | 変形量(cm) |      |      |      |      |      |      |      |      |      | 入力加速度最大値(Gal) |      |      |      |      |      |      |      |      |      |
|-------------------|-------|-----------|---------|------|------|------|------|------|------|------|------|------|---------------|------|------|------|------|------|------|------|------|------|
|                   |       |           | 苦小牧     | 八戸   | 東京   | 名古屋  | 岩国   | 広島   | 高松   | 高知   | 博多   | 鹿児島  | 苦小牧           | 八戸   | 東京   | 名古屋  | 岩国   | 広島   | 高松   | 高知   | 博多   | 鹿児島  |
|                   |       |           | 9013    | 9106 | 9207 | 9308 | 9516 | 9517 | 9603 | 9611 | 9701 | 9729 | 9013          | 9106 | 9207 | 9308 | 9516 | 9517 | 9603 | 9611 | 9701 | 9729 |
| -11.0m<br>kh=0.15 | 1     | L30       | 10.3    | 18.9 | 9.3  | 9.6  | 6.6  | 16.7 | 9.0  | 13.5 | 7.5  | 18.6 | 142           | 186  | 120  | 130  | 305  | 330  | 107  | 180  | 165  | 182  |
|                   |       | L50       | 11.2    | 22.3 | 10.0 | 10.1 | 6.9  | 17.9 | 9.4  | 14.7 | 7.5  | 20.0 | 148           | 207  | 127  | 134  | 312  | 336  | 109  | 192  | 166  | 187  |
|                   |       | L70       | 12.4    | 25.9 | 10.8 | 10.8 | 7.2  | 19.3 | 9.9  | 16.2 | 7.6  | 21.8 | 155           | 233  | 135  | 139  | 320  | 343  | 113  | 206  | 167  | 193  |
|                   | 2     | L30       | 8.3     | 23.1 | 10.3 | 7.4  | 7.1  | 15.3 | 9.5  | 15.9 | 7.5  | 20.8 | 142           | 186  | 120  | 130  | 305  | 330  | 107  | 180  | 165  | 182  |
|                   |       | L50       | 9.3     | 30.0 | 11.2 | 7.8  | 7.4  | 17.5 | 9.9  | 17.7 | 7.5  | 22.8 | 148           | 207  | 127  | 134  | 312  | 336  | 109  | 192  | 166  | 187  |
|                   |       | L70       | 10.7    | 37.1 | 12.2 | 8.4  | 7.7  | 20.2 | 10.6 | 19.7 | 7.6  | 25.9 | 155           | 233  | 135  | 139  | 320  | 343  | 113  | 206  | 167  | 193  |



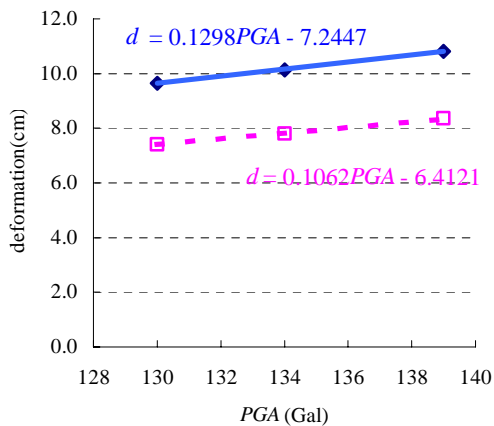
1) 苦小牧港波



2) 八戸港波



3) 東京港波



4) 名古屋港波

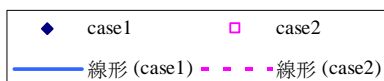
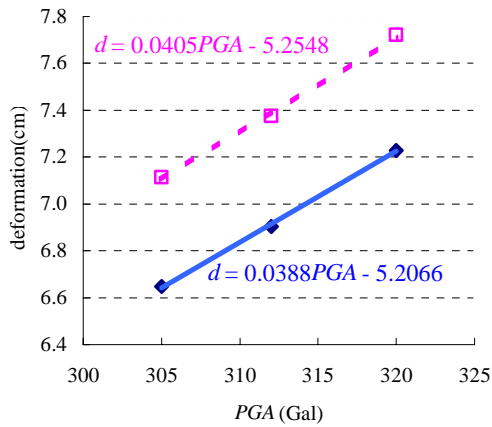
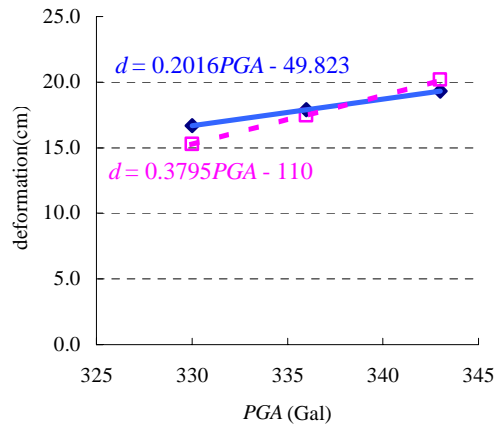


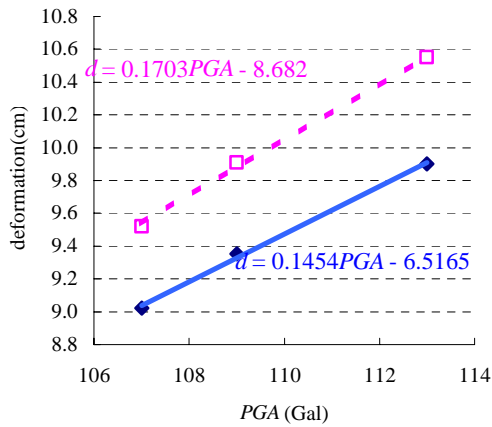
図-B.14.1 入力加速度最大値と残留変形量の関係 (控え組杭式:水深-11.0m,kh=0.15)



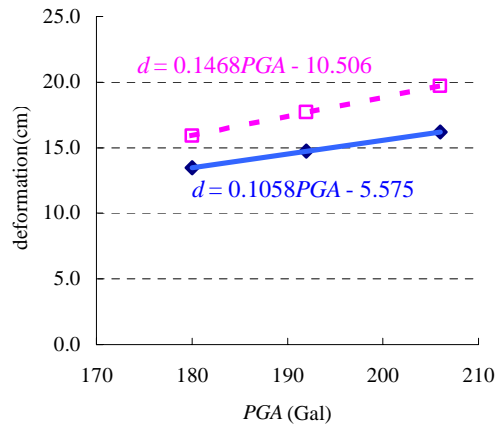
5) 岩国港波



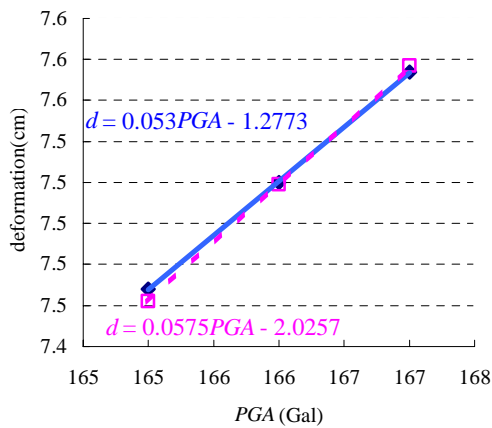
6) 広島港波



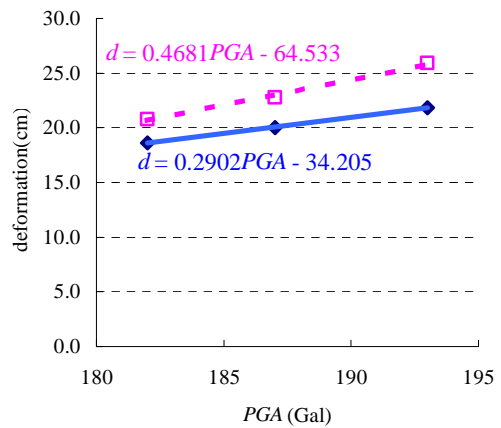
7) 高松港波



8) 高知港波



9) 博多港波



10) 鹿児島港波

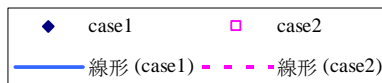
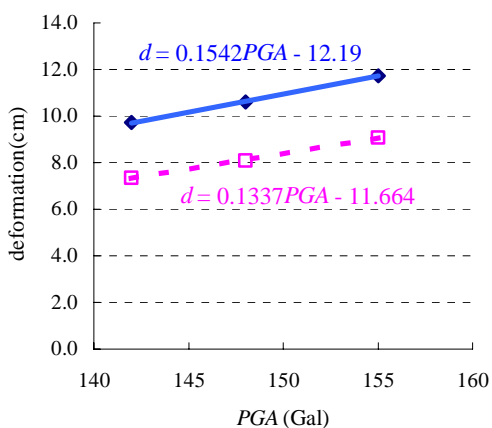


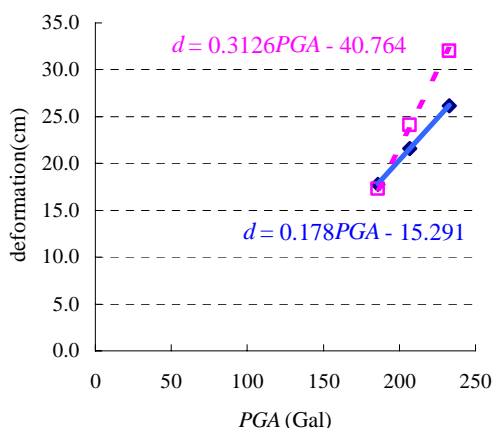
図-B. 14. 2 入力加速度最大値と残留変形量の関係 (控え組杭式: 水深--11.0m,kh=0.15)

表-B.15 入力加速度最大値と残留変形量 (控え組杭式: 水深-11.0m,kh=0.20)

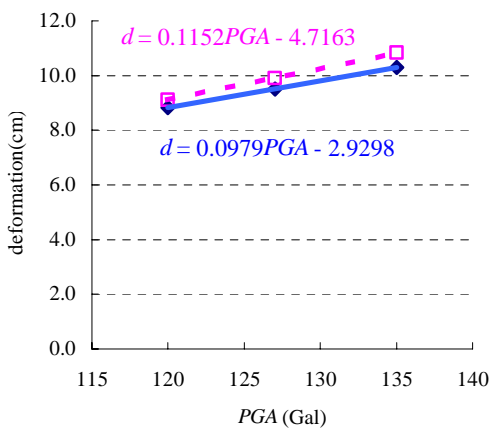
| 水深<br>・<br>震度     | 地盤ケース | 地震<br>信頼度 | 変形量(cm) |      |      |      |      |      |      |      |      |      | 入力加速度最大値(Gal) |      |      |      |      |      |      |      |      |      |
|-------------------|-------|-----------|---------|------|------|------|------|------|------|------|------|------|---------------|------|------|------|------|------|------|------|------|------|
|                   |       |           | 苦小牧     | 八戸   | 東京   | 名古屋  | 岩国   | 広島   | 高松   | 高知   | 博多   | 鹿児島  | 苦小牧           | 八戸   | 東京   | 名古屋  | 岩国   | 広島   | 高松   | 高知   | 博多   | 鹿児島  |
|                   |       |           | 9013    | 9106 | 9207 | 9308 | 9516 | 9517 | 9603 | 9611 | 9701 | 9729 | 9013          | 9106 | 9207 | 9308 | 9516 | 9517 | 9603 | 9611 | 9701 | 9729 |
| -11.0m<br>kh=0.20 | 1     | L30       | 9.7     | 17.8 | 8.8  | 9.1  | 6.4  | 15.6 | 8.6  | 13.0 | 7.2  | 17.5 | 142           | 186  | 120  | 130  | 305  | 330  | 107  | 180  | 165  | 182  |
|                   |       | L50       | 10.6    | 21.6 | 9.5  | 9.5  | 6.6  | 16.8 | 9.0  | 14.3 | 7.3  | 18.8 | 148           | 207  | 127  | 134  | 312  | 336  | 109  | 192  | 166  | 187  |
|                   |       | L70       | 11.7    | 26.2 | 10.3 | 10.1 | 7.0  | 18.1 | 9.5  | 15.8 | 7.3  | 20.6 | 155           | 233  | 135  | 139  | 320  | 343  | 113  | 206  | 167  | 193  |
|                   | 2     | L30       | 7.3     | 17.3 | 9.1  | 6.6  | 6.9  | 12.1 | 8.5  | 14.0 | 7.1  | 17.7 | 142           | 186  | 120  | 130  | 305  | 330  | 107  | 180  | 165  | 182  |
|                   |       | L50       | 8.1     | 24.1 | 9.9  | 7.0  | 7.1  | 13.4 | 8.8  | 15.7 | 7.1  | 18.9 | 148           | 207  | 127  | 134  | 312  | 336  | 109  | 192  | 166  | 187  |
|                   |       | L70       | 9.1     | 32.0 | 10.8 | 7.4  | 7.5  | 15.3 | 9.4  | 17.7 | 7.2  | 20.5 | 155           | 233  | 135  | 139  | 320  | 343  | 113  | 206  | 167  | 193  |



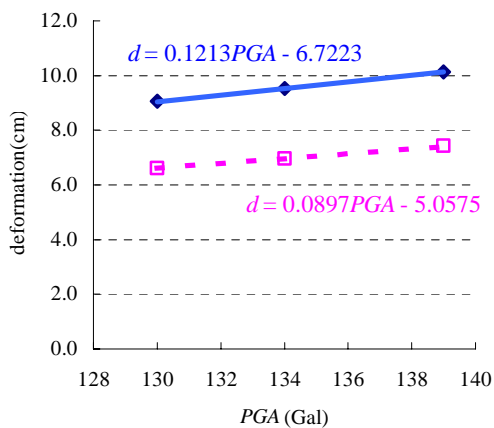
1) 苦小牧港波



2) 八戸港波



3) 東京港波



4) 名古屋港波

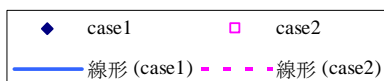
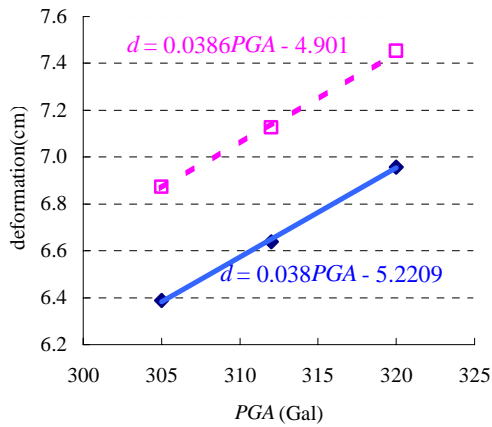
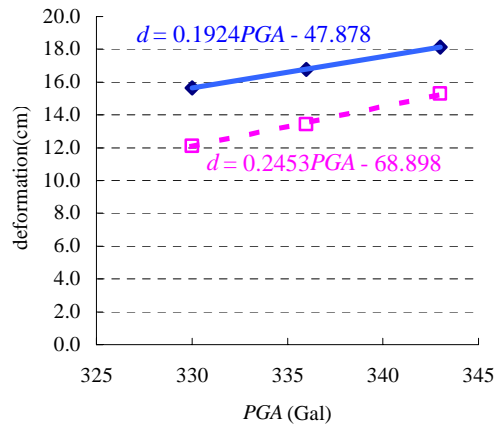


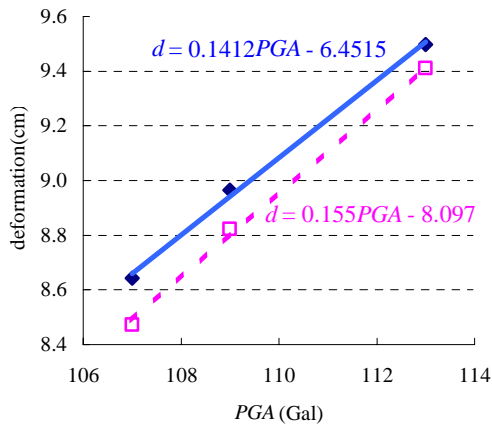
図-B.15.1 入力加速度最大値と残留変形量の関係 (控え組杭式: 水深-11.0m,kh=0.20)



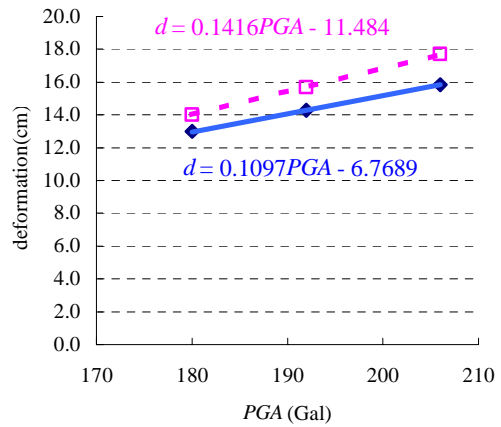
5) 岩国港波



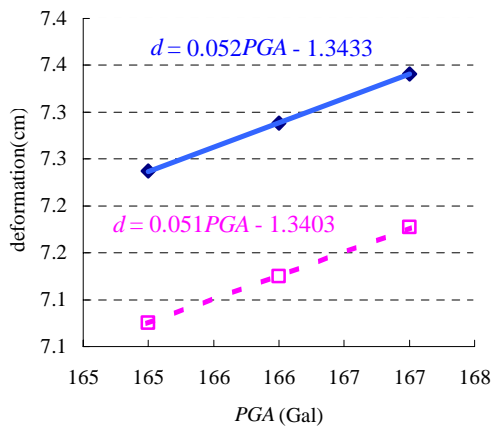
6) 広島港波



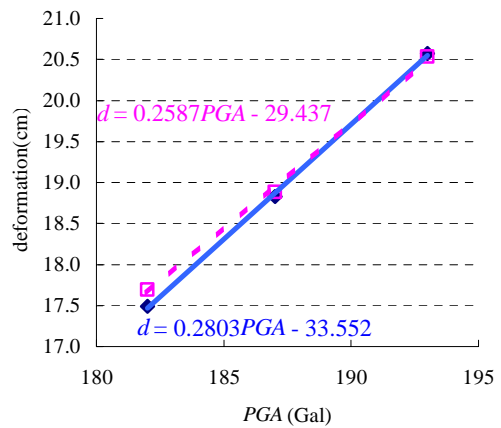
7) 高松港波



8) 高知港波



9) 博多港波



10) 鹿児島港波

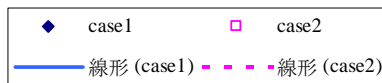


図-B.15.2 入力加速度最大値と残留変形量の関係 (控え組杭式: 水深-11.0m, kh=0.20)

表-B.16 入力加速度最大値と残留変形量（控え組杭式：水深-14.5m,kh=0.20）

| 水深<br>・<br>震度     | 地盤ケース | 地震<br>信頼度 | 変形量(cm) |      |      |      |      |      |      |      |      |      | 入力加速度最大値(Gal) |      |      |      |      |      |      |      |      |      |
|-------------------|-------|-----------|---------|------|------|------|------|------|------|------|------|------|---------------|------|------|------|------|------|------|------|------|------|
|                   |       |           | 苦小牧     | 八戸   | 東京   | 名古屋  | 岩国   | 広島   | 高松   | 高知   | 博多   | 鹿児島  | 苦小牧           | 八戸   | 東京   | 名古屋  | 岩国   | 広島   | 高松   | 高知   | 博多   | 鹿児島  |
|                   |       |           | 9013    | 9106 | 9207 | 9308 | 9516 | 9517 | 9603 | 9611 | 9701 | 9729 | 9013          | 9106 | 9207 | 9308 | 9516 | 9517 | 9603 | 9611 | 9701 | 9729 |
| -14.5m<br>kh=0.20 | 1     | L30       | 11.8    | 20.5 | 10.6 | 11.3 | 7.5  | 18.5 | 10.1 | 14.6 | 8.4  | 21.3 | 142           | 186  | 120  | 130  | 305  | 330  | 107  | 180  | 165  | 182  |
|                   |       | L50       | 12.9    | 23.9 | 11.3 | 11.9 | 7.8  | 19.6 | 10.5 | 16.0 | 8.5  | 22.9 | 148           | 207  | 127  | 134  | 312  | 336  | 109  | 192  | 166  | 187  |
|                   |       | L70       | 14.2    | 28.0 | 12.3 | 12.6 | 8.2  | 20.8 | 11.2 | 17.7 | 8.5  | 25.0 | 155           | 233  | 135  | 139  | 320  | 343  | 113  | 206  | 167  | 193  |
|                   | 2     | L30       | 10.2    | 22.5 | 10.5 | 8.6  | 7.4  | 17.6 | 9.5  | 15.2 | 7.9  | 20.3 | 142           | 186  | 120  | 130  | 305  | 330  | 107  | 180  | 165  | 182  |
|                   |       | L50       | 11.4    | 27.9 | 11.3 | 9.2  | 7.7  | 19.4 | 9.8  | 16.6 | 7.9  | 22.3 | 148           | 207  | 127  | 134  | 312  | 336  | 109  | 192  | 166  | 187  |
|                   |       | L70       | 13.0    | 35.4 | 12.2 | 9.9  | 8.0  | 21.7 | 10.5 | 18.3 | 8.0  | 24.8 | 155           | 233  | 135  | 139  | 320  | 343  | 113  | 206  | 167  | 193  |

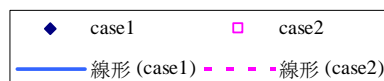
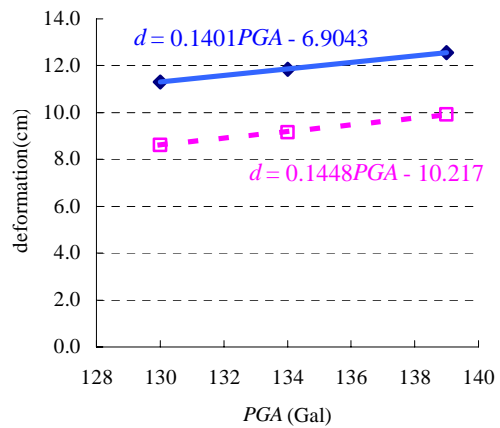
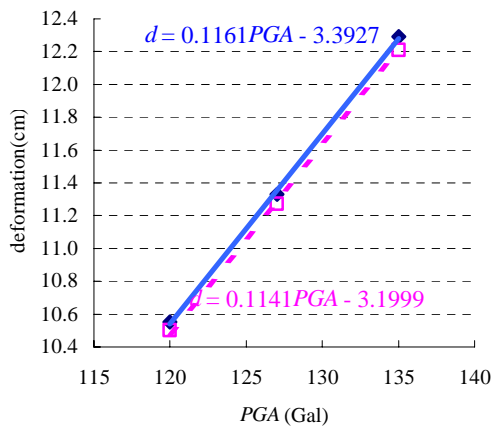
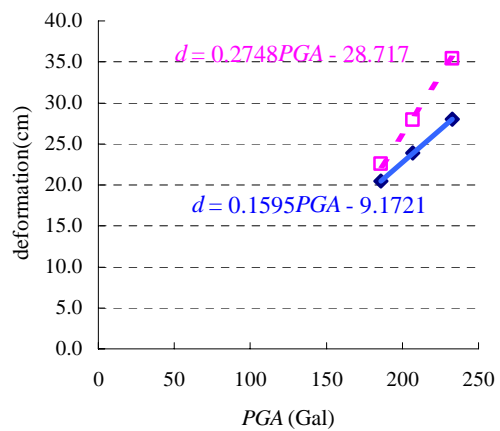
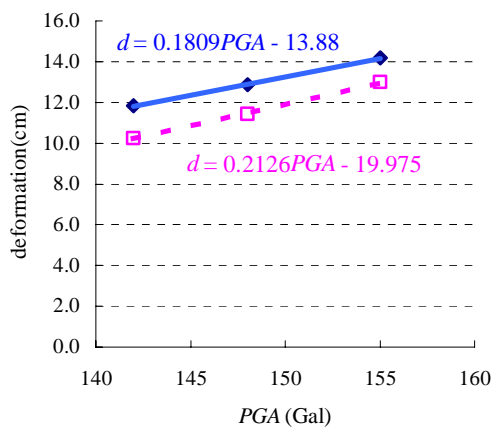
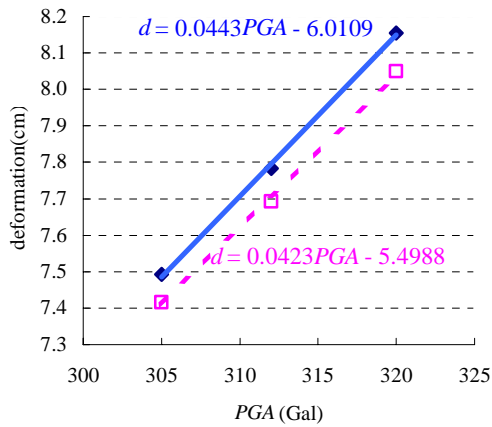
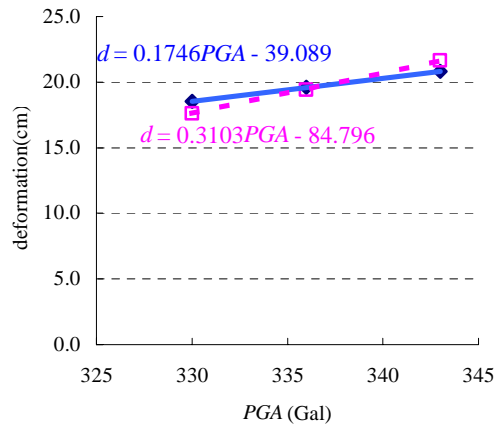


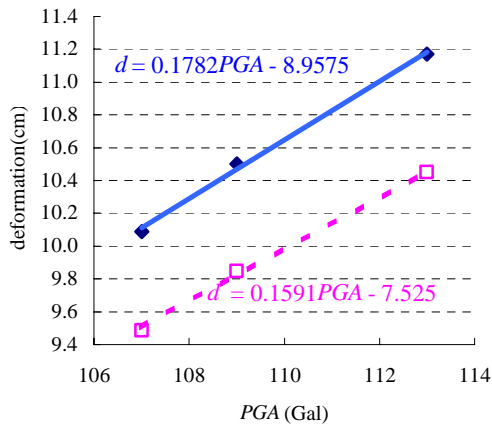
図-B.16.1 入力加速度最大値と残留変形量の関係（控え組杭式：水深-14.5m,kh=0.20）



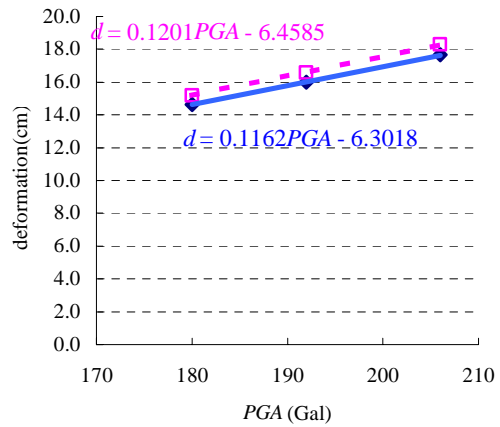
5) 岩国港波



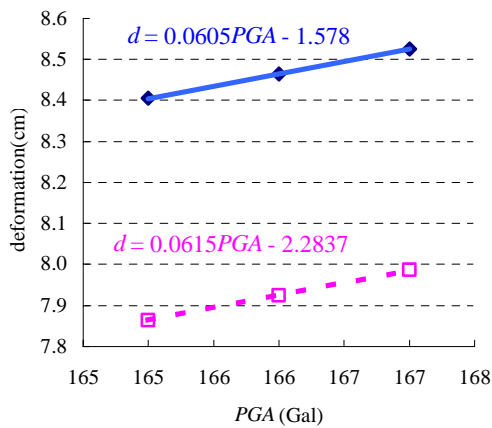
6) 広島港波



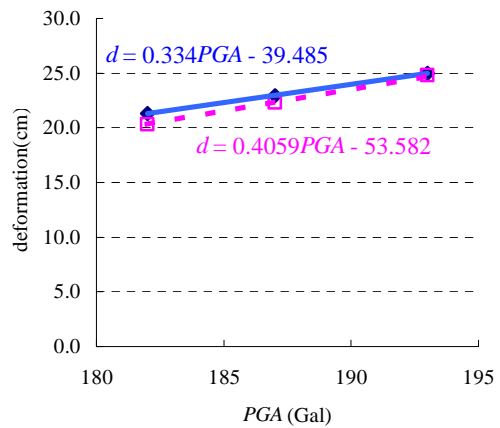
7) 高松港波



8) 高知港波



9) 博多港波



10) 鹿児島港波

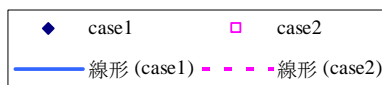
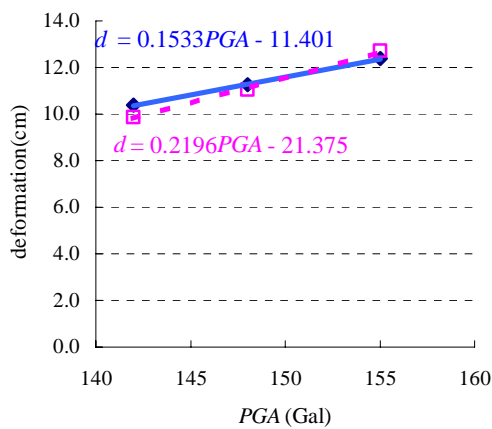


図-B.16.2 入力加速度最大値と残留変形量の関係 (控え組杭式: 水深-14.5m, kh=0.20)

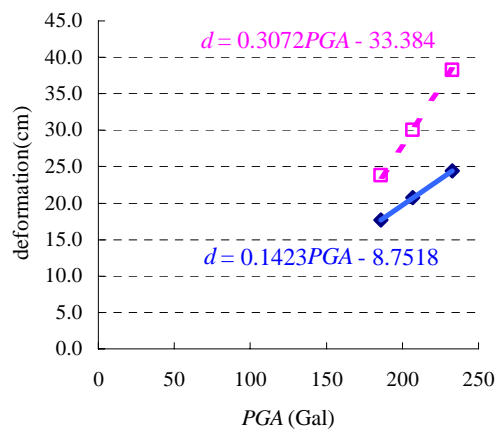


表-B.17 入力加速度最大値と残留変形量（控え組杭式：水深-14.5m,kh=0.25）

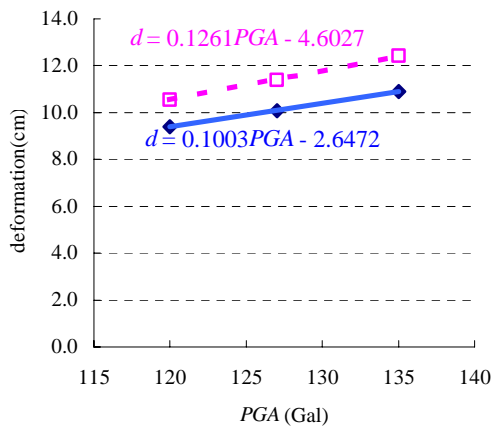
| 水深<br>・<br>震度     | 地盤ケース | 地震<br>信頼度 | 変形量(cm) |      |      |      |      |      |      |      |      |      | 入力加速度最大値(Gal) |      |      |      |      |      |      |      |      |      |
|-------------------|-------|-----------|---------|------|------|------|------|------|------|------|------|------|---------------|------|------|------|------|------|------|------|------|------|
|                   |       |           | 苦小牧     | 八戸   | 東京   | 名古屋  | 岩国   | 広島   | 高松   | 高知   | 博多   | 鹿児島  | 苦小牧           | 八戸   | 東京   | 名古屋  | 岩国   | 広島   | 高松   | 高知   | 博多   | 鹿児島  |
|                   |       |           | 9013    | 9106 | 9207 | 9308 | 9516 | 9517 | 9603 | 9611 | 9701 | 9729 | 9013          | 9106 | 9207 | 9308 | 9516 | 9517 | 9603 | 9611 | 9701 | 9729 |
| -14.5m<br>kh=0.25 | 1     | L30       | 10.4    | 17.7 | 9.4  | 9.9  | 6.9  | 16.3 | 8.9  | 13.1 | 7.7  | 18.2 | 142           | 186  | 120  | 130  | 305  | 330  | 107  | 180  | 165  | 182  |
|                   |       | L50       | 11.3    | 20.7 | 10.1 | 10.4 | 7.1  | 17.2 | 9.3  | 14.3 | 7.7  | 19.5 | 148           | 207  | 127  | 134  | 312  | 336  | 109  | 192  | 166  | 187  |
|                   |       | L70       | 12.4    | 24.4 | 10.9 | 11.0 | 7.5  | 18.3 | 9.8  | 15.7 | 7.8  | 21.2 | 155           | 233  | 135  | 139  | 320  | 343  | 113  | 206  | 167  | 193  |
|                   | 2     | L30       | 9.9     | 23.8 | 10.5 | 8.3  | 7.4  | 17.8 | 9.6  | 15.8 | 7.8  | 21.2 | 142           | 186  | 120  | 130  | 305  | 330  | 107  | 180  | 165  | 182  |
|                   |       | L50       | 11.1    | 30.0 | 11.4 | 8.8  | 7.7  | 19.8 | 9.9  | 17.5 | 7.9  | 23.3 | 148           | 207  | 127  | 134  | 312  | 336  | 109  | 192  | 166  | 187  |
|                   |       | L70       | 12.7    | 38.3 | 12.4 | 9.6  | 8.0  | 22.3 | 10.6 | 19.4 | 7.9  | 26.2 | 155           | 233  | 135  | 139  | 320  | 343  | 113  | 206  | 167  | 193  |



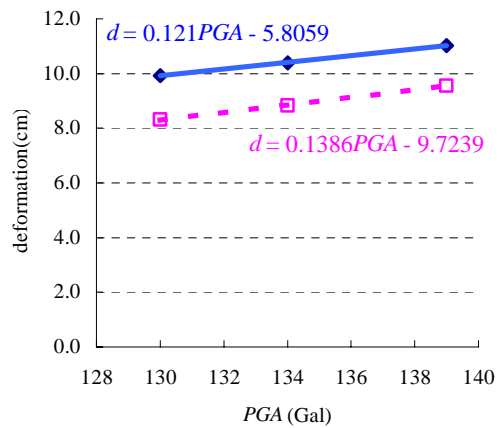
1) 苦小牧港波



2) 八戸港波



3) 東京港波



4) 名古屋港波

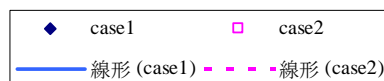
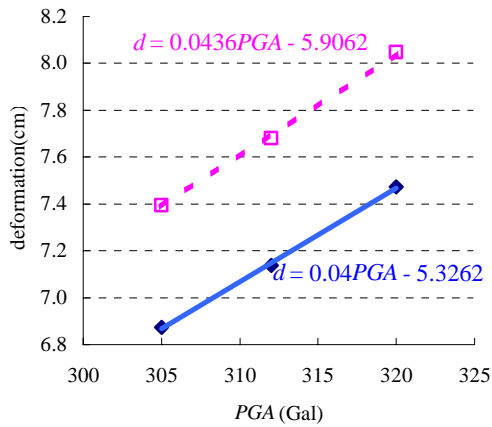
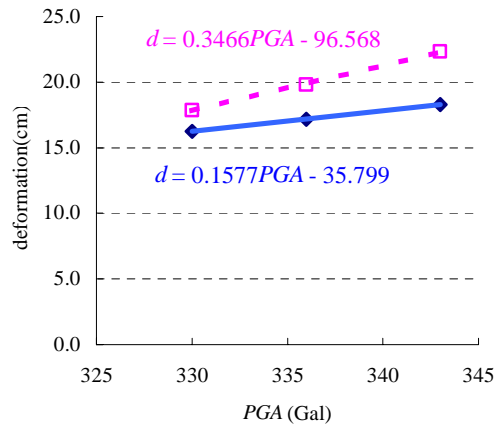


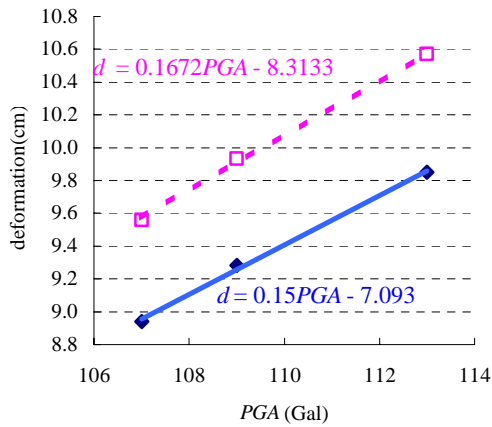
図-B.17.1 入力加速度最大値と残留変形量の関係（控え組杭式：水深-14.5m,kh=0.25）



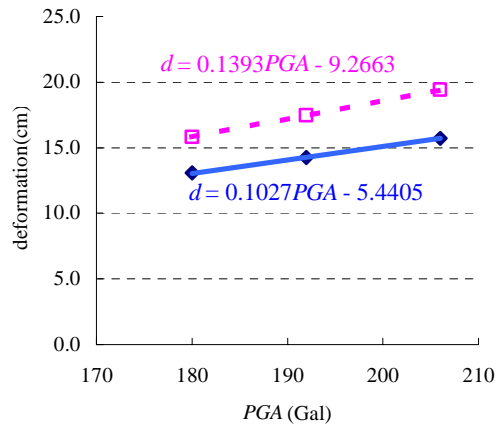
5) 岩国港波



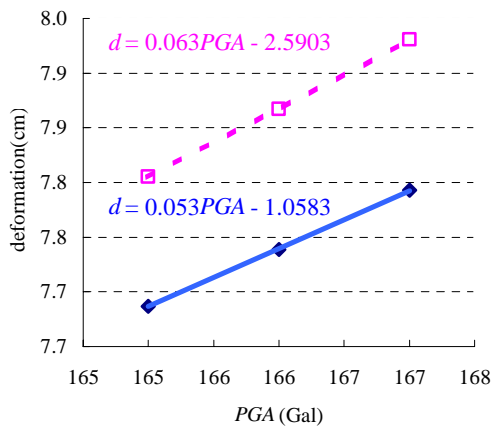
6) 広島港波



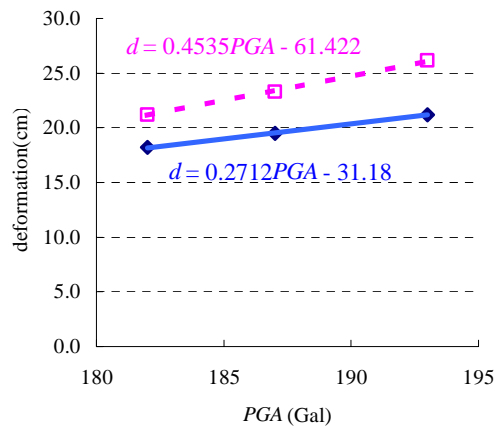
7) 高松港波



8) 高知港波



9) 博多港波



10) 鹿児島港波

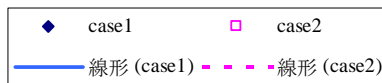
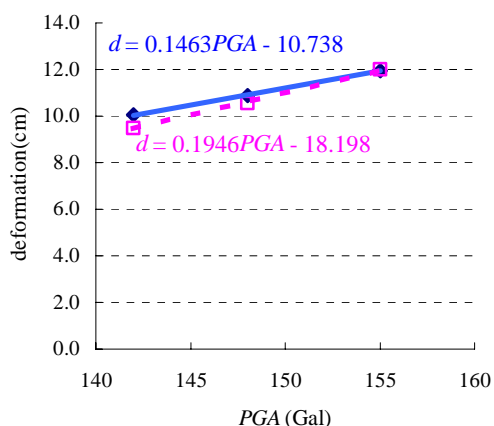


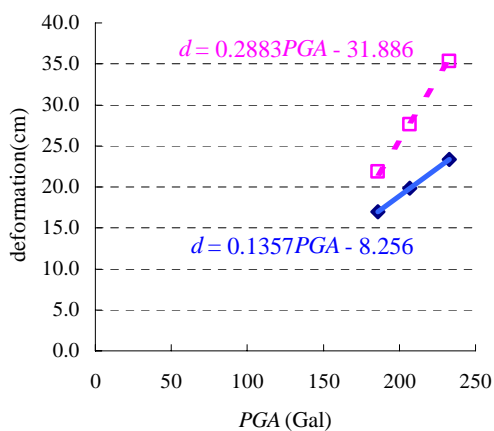
図-B.17.2 入力加速度最大値と残留変形量の関係 (控え組杭式: 水深-14.5m, kh=0.25)

表-B.18 入力加速度最大値と残留変形量（控え組杭式：水深-14.5m,kh=0.27）

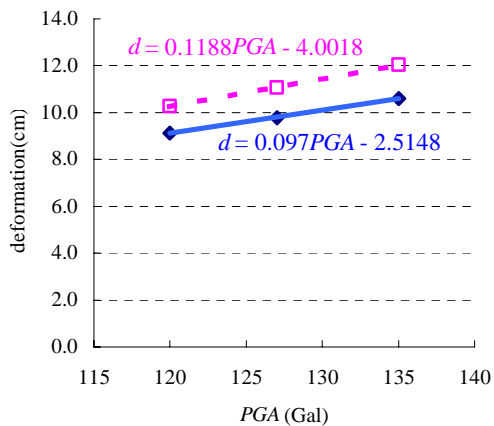
| 水深<br>・<br>震度     | 地盤ケース | 地震<br>信頼度 | 変形量(cm) |      |      |      |      |      |      |      |      |      | 入力加速度最大値(Gal) |      |      |      |      |      |      |      |      |      |
|-------------------|-------|-----------|---------|------|------|------|------|------|------|------|------|------|---------------|------|------|------|------|------|------|------|------|------|
|                   |       |           | 苦小牧     | 八戸   | 東京   | 名古屋  | 岩国   | 広島   | 高松   | 高知   | 博多   | 鹿児島  | 苦小牧           | 八戸   | 東京   | 名古屋  | 岩国   | 広島   | 高松   | 高知   | 博多   | 鹿児島  |
|                   |       |           | 9013    | 9106 | 9207 | 9308 | 9516 | 9517 | 9603 | 9611 | 9701 | 9729 | 9013          | 9106 | 9207 | 9308 | 9516 | 9517 | 9603 | 9611 | 9701 | 9729 |
| -14.5m<br>kh=0.27 | 1     | L30       | 10.1    | 17.0 | 9.1  | 9.6  | 6.7  | 15.6 | 8.7  | 12.7 | 7.5  | 17.5 | 142           | 186  | 120  | 130  | 305  | 330  | 107  | 180  | 165  | 182  |
|                   |       | L50       | 10.9    | 19.9 | 9.8  | 10.1 | 7.0  | 16.5 | 9.0  | 13.8 | 7.5  | 18.7 | 148           | 207  | 127  | 134  | 312  | 336  | 109  | 192  | 166  | 187  |
|                   |       | L70       | 12.0    | 23.4 | 10.6 | 10.7 | 7.3  | 17.6 | 9.5  | 15.2 | 7.6  | 20.3 | 155           | 233  | 135  | 139  | 320  | 343  | 113  | 206  | 167  | 193  |
|                   | 2     | L30       | 9.5     | 21.8 | 10.3 | 8.1  | 7.4  | 16.7 | 9.3  | 15.2 | 7.8  | 19.6 | 142           | 186  | 120  | 130  | 305  | 330  | 107  | 180  | 165  | 182  |
|                   |       | L50       | 10.5    | 27.6 | 11.1 | 8.6  | 7.7  | 18.4 | 9.7  | 16.7 | 7.8  | 21.3 | 148           | 207  | 127  | 134  | 312  | 336  | 109  | 192  | 166  | 187  |
|                   |       | L70       | 12.0    | 35.4 | 12.0 | 9.2  | 8.0  | 20.6 | 10.3 | 18.6 | 7.9  | 23.7 | 155           | 233  | 135  | 139  | 320  | 343  | 113  | 206  | 167  | 193  |



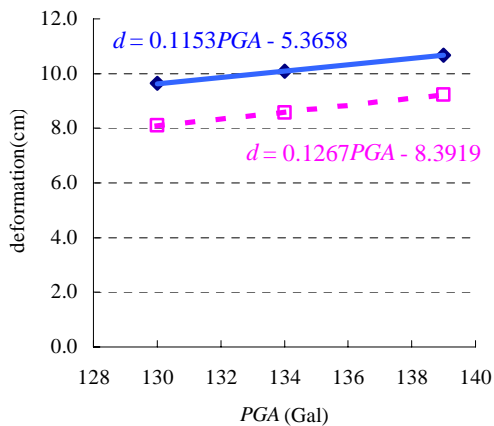
1) 苦小牧港波



2) 八戸港波



3) 東京港波



4) 名古屋港波

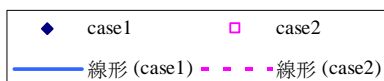
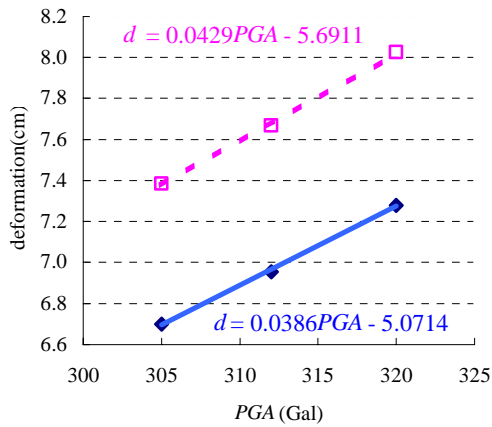
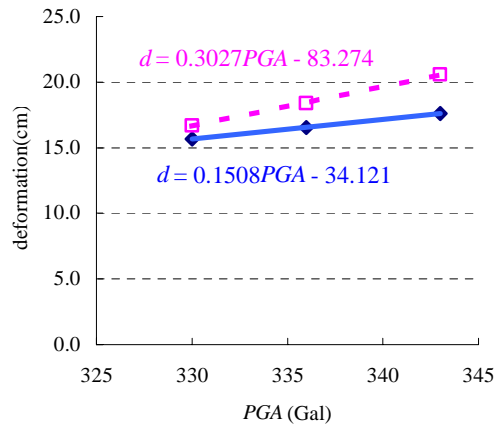


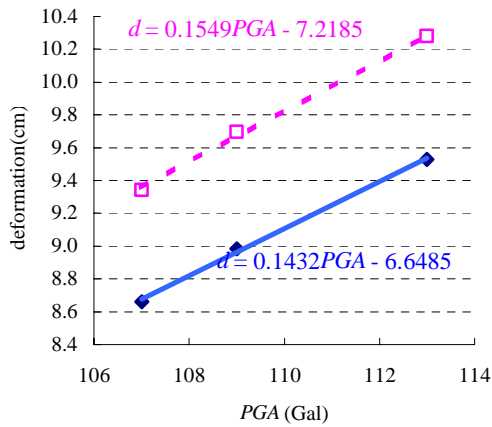
図-B.18.1 入力加速度最大値と残留変形量の関係（控え組杭式：水深-14.5m,kh=0.27）



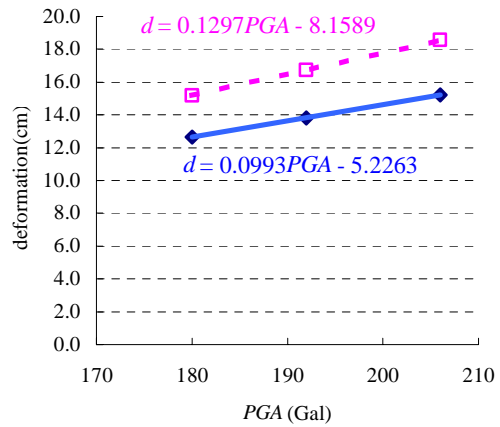
5) 岩国港波



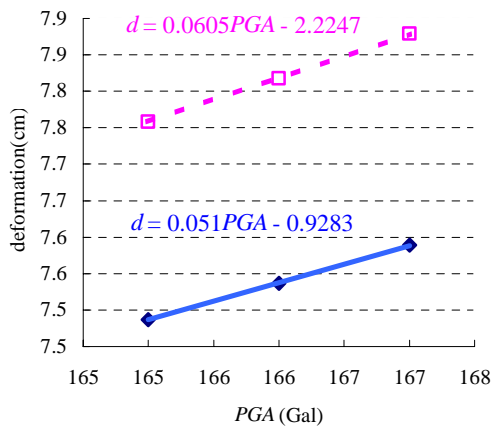
6) 広島港波



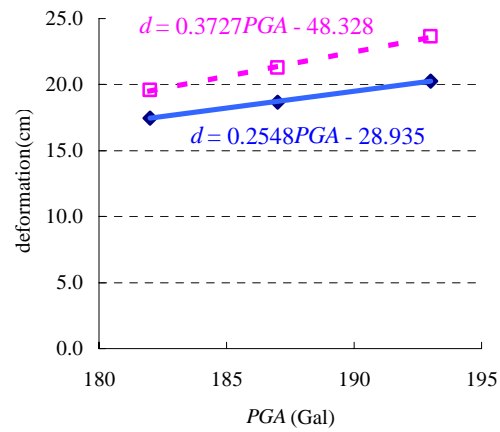
7) 高松港波



8) 高知港波



9) 博多港波



10) 鹿児島港波

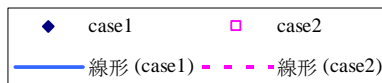


図-B.18.2 入力加速度最大値と残留変形量の関係 (控え組杭式: 水深-14.5m, kh=0.27)